

Tomo-ventriculographie isotopique en routine clinique

Ventriculographie isotopique ☺ et ☹

Tomo-ventriculographie isotopique

Segmentation et analyse globale

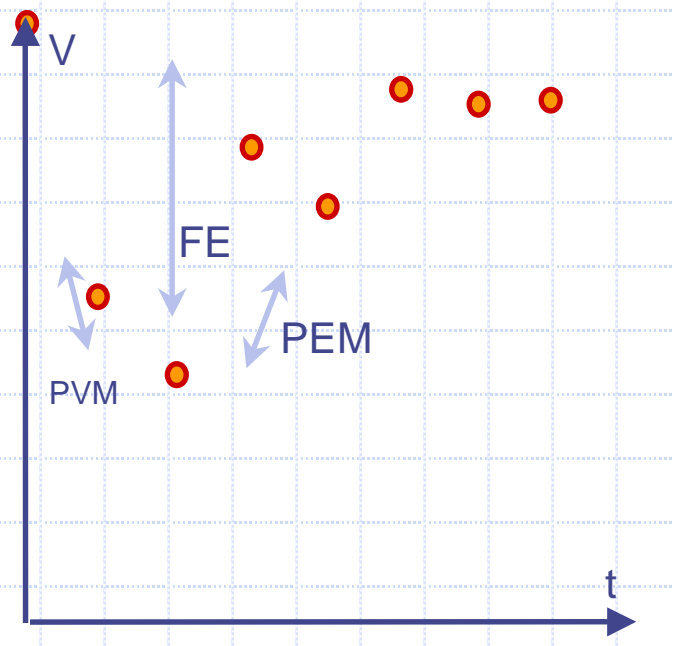
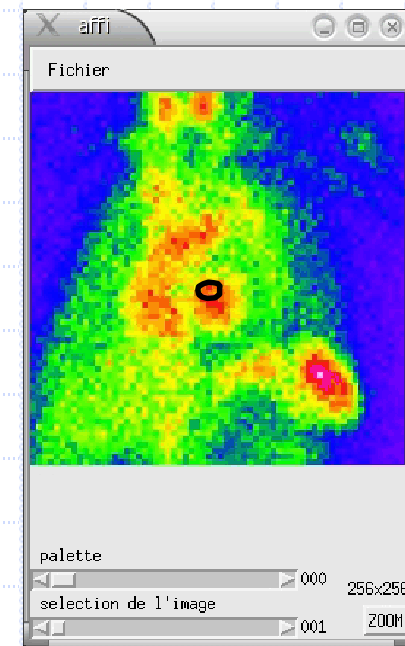
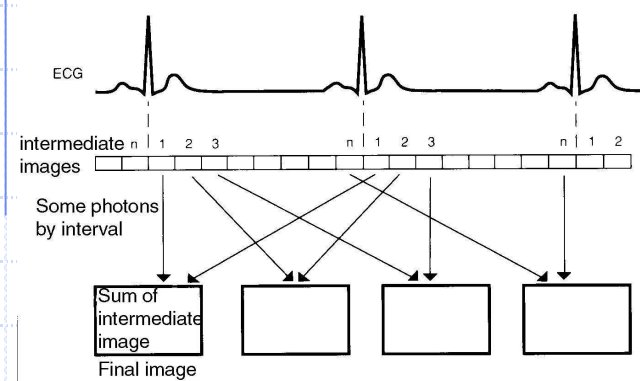
Modélisation de CTA et analyse locale

Validation clinique

Denis MARIANO-GOULART Service de médecine nucléaire. CHRU Lapeyronie. Montpellier

Ventriculographie isotopique

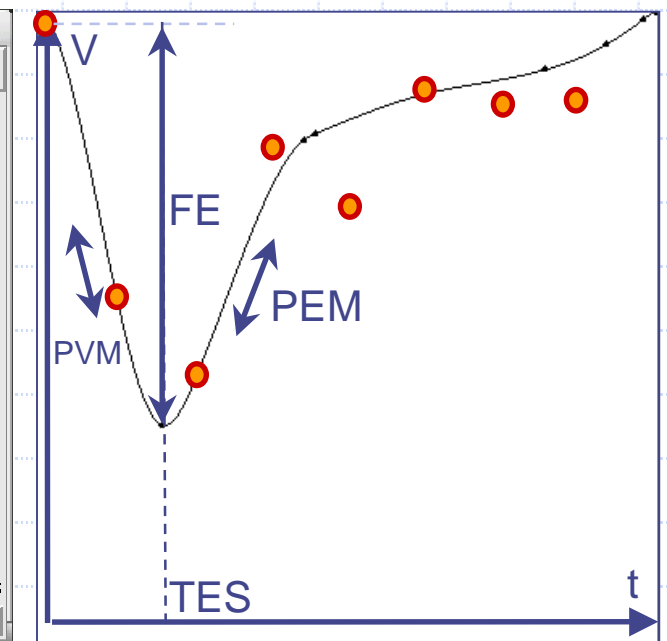
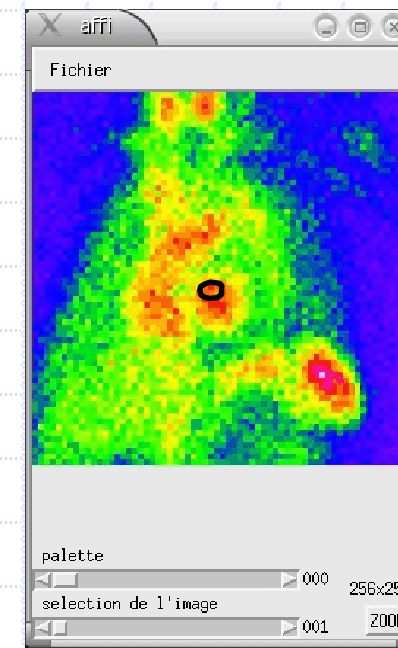
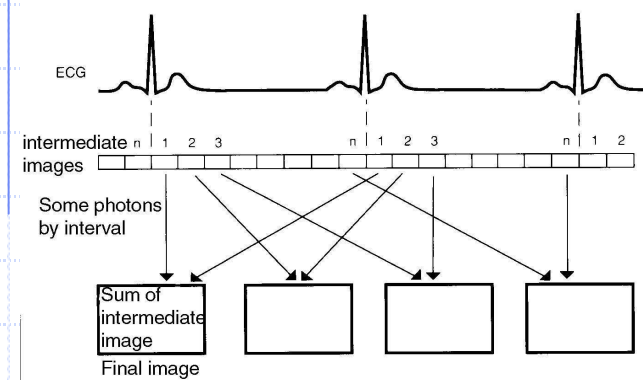
- ◆ Marquage des GR au ^{99m}Tc : Contraste
- ◆ Synchronisation ECG



- ◆ Analyse de CTA
 - Activité \propto Volume
 - Globale ou locale

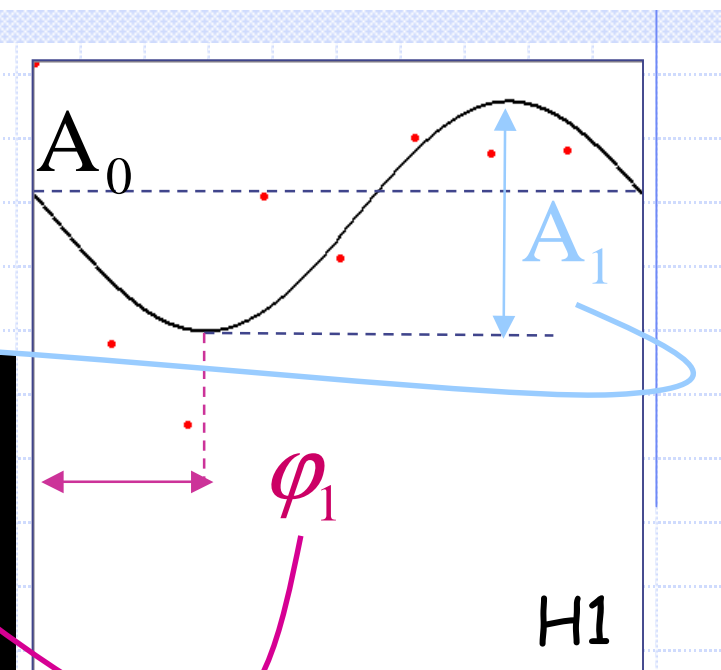
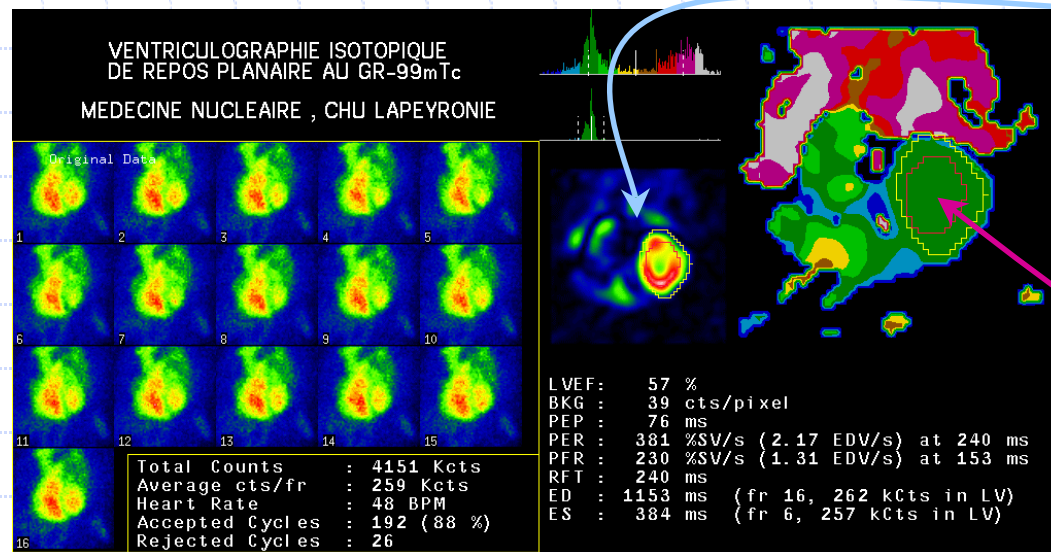
Ventriculographie isotopique

- ❖ Marquage des GR au ^{99m}Tc : Contraste
- ❖ Synchronisation ECG



- ❖ Analyse de CTA
 - Activité \propto Volume
 - Globale ou locale

1° harmonique



$$\frac{1}{N} \hat{s}(k)$$

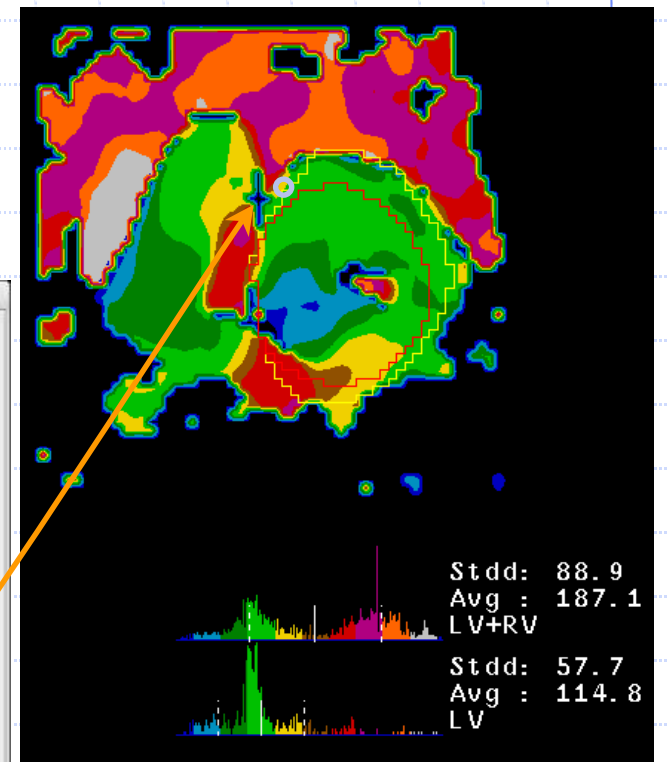
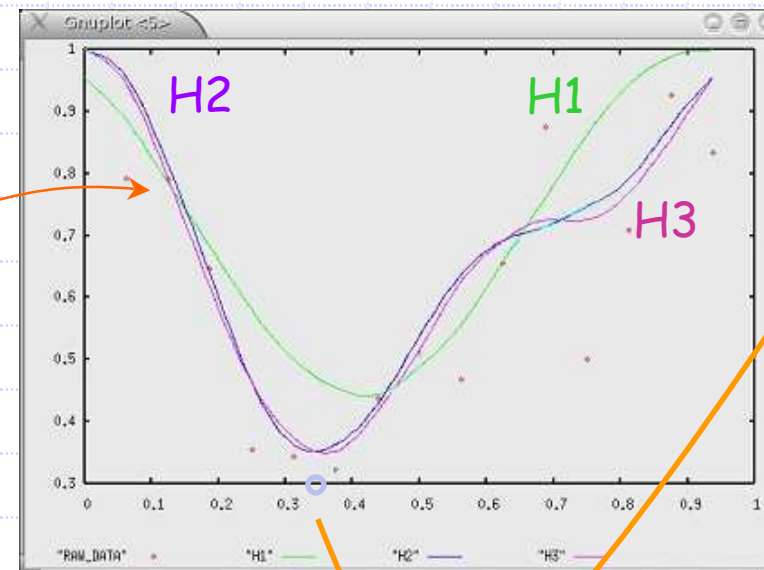
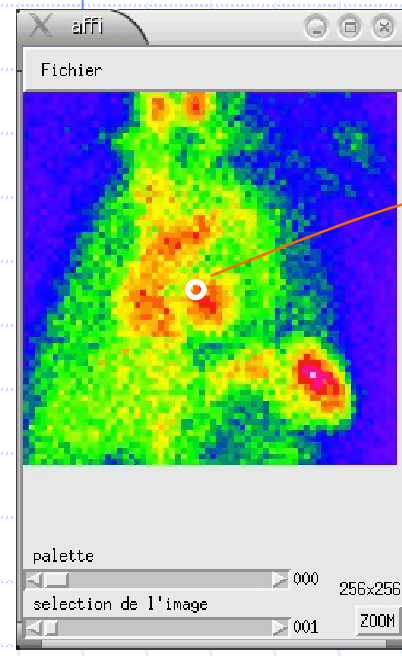
$$s(t) = \sum_{k=0}^N A_k \cdot e^{j \cdot (k \omega_0 t + \phi_k)} = \sum_{k=0}^N A_k \cdot e^{j \cdot \phi_k} \cdot e^{j \cdot k \omega_0 t}$$

$$s(t) \approx \frac{\hat{s}(0)}{N} + \frac{\hat{s}(1)}{N} e^{j \cdot (\omega_0 t)} = A_0 + A_1 e^{j \cdot (\omega_0 t + \phi_1)}$$

Analyse multi-harmonique

Rythmologie :

- Analyse locales et mesure de σ_{TES}
- Pb : Superposition \Rightarrow OAG, OAD, PG
- Pb : bruit \Rightarrow \uparrow stat, H3 et filtrages...



(Le Guludec, JACC 95)

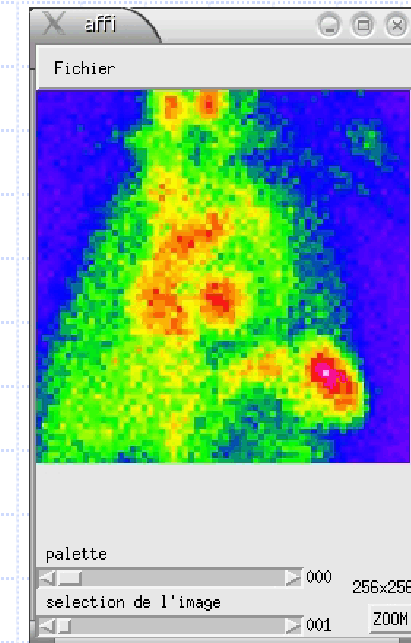
Ventriculographie isotopique planaire

◆ Etalon or pour le suivi de FEVG

- ◆ Simple
- ◆ Automatique : H1 en OAG
- ◆ Variabilité inter-op. = 2-3%
- ◆ Analyse sectorielle possible

◆ FEVD

- ◆ Exacte au premier passage (seulement)
- ◆ Acquisition délicate (ESV, bolus)

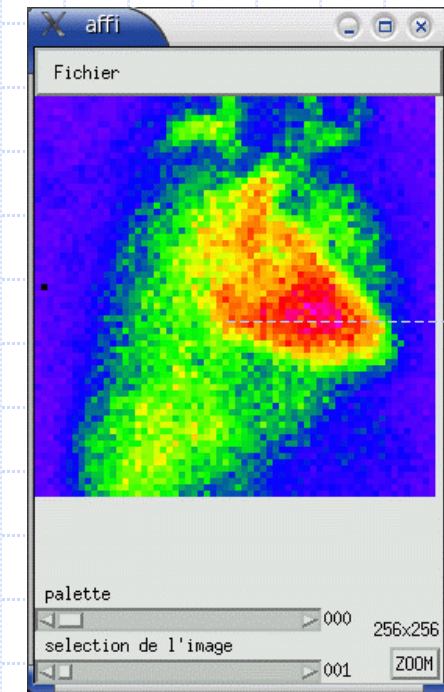


Pb1 : Superposition des plans

Acquisition de projection :

- FEVD planaire au 1^o passage
- FEVG planaire sous estimée
- Volumes ?
- Débits ?

↳ Mode tomographique:
**QBS, BP-SPECT,
QBE, TOMPOOL...**



Pb2: Fits multi-H bruités

$$s(t) = \frac{1}{N} \sum_{k=0}^{N-1} \hat{s}(k) \cdot e^{j \cdot (k \omega_0) t}$$

Avant bruitage

H1

H1+H2

H1+H2+H3

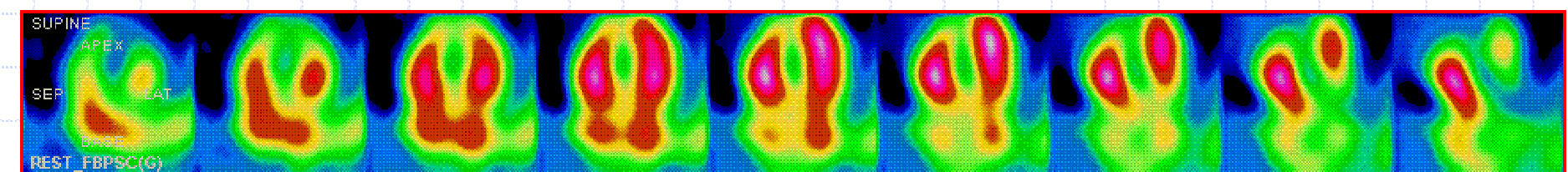
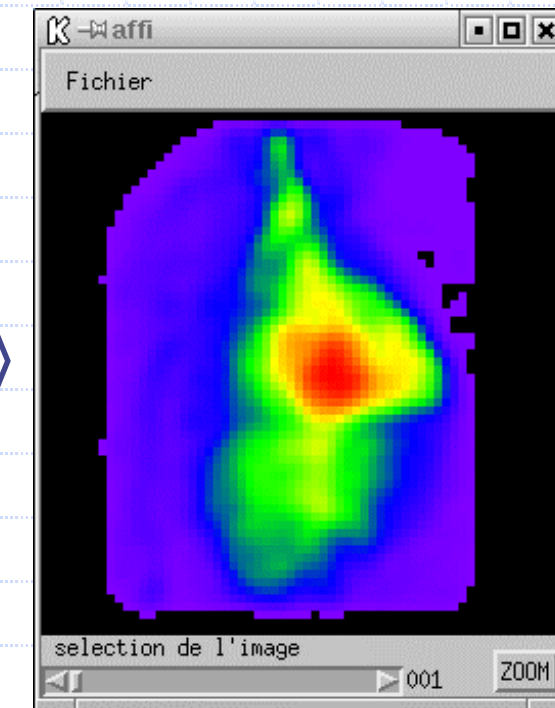
Améliorations possibles

◆ Tomoventriculographie isotopique

- ◆ Mesures non sous-estimées de FEVG
- ◆ Mesures de FEVD à l'équilibre
- ◆ Mesures des volumes ventriculaires D et G
- ◆ Mesures des débits cardiaques D et G
- ◆ Dépolarisation intraventriculaire

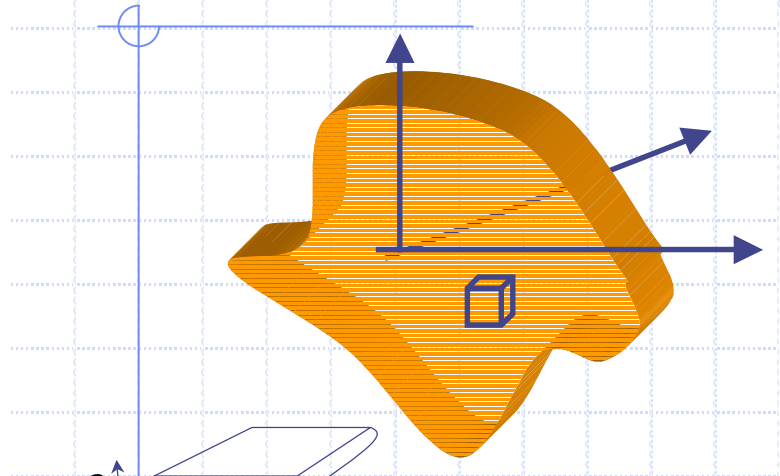
◆ Optimisation du fit de la CTA

TOMO-VENTRICULOGRAPHIE

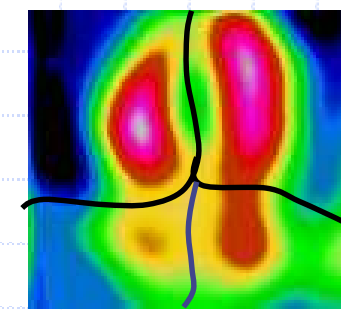


(Bergmann, Nichols, Franken, Mariano-Goulart)

« Effet de volume partiel »

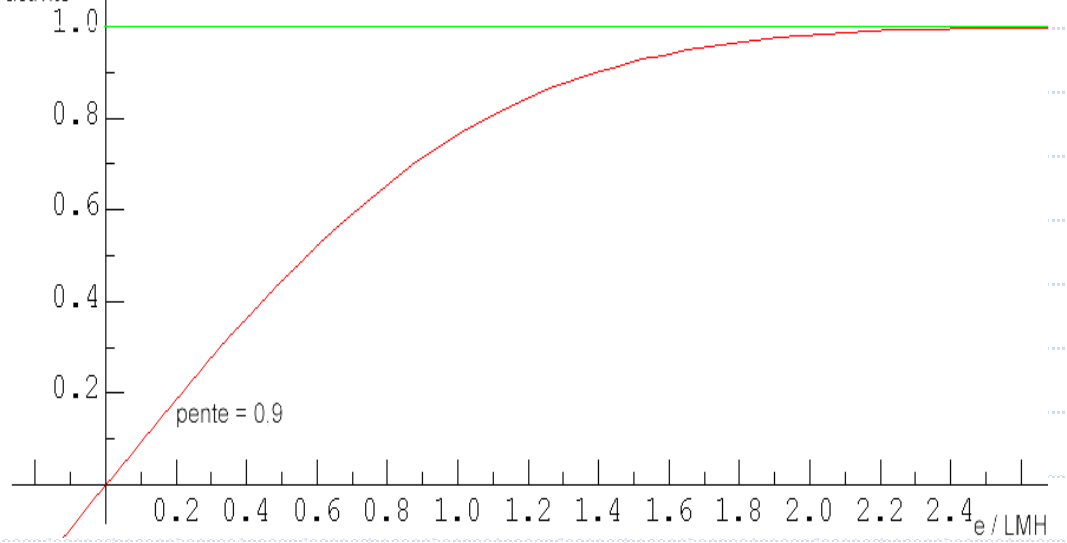


$$S = \frac{2\sqrt{\ln 2}}{LMH} \int_{-e/2}^{e/2} e^{-\frac{4\ln 2}{LMH^2} z^2} dz$$



ACQUISITION

signal / activité



Squelette

Soit $X = \bigcup X_i$ une réunion de régions compactes disjointes.

On définit la zone d'influence de X_i :

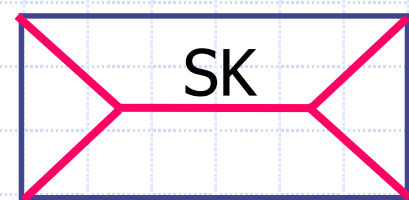
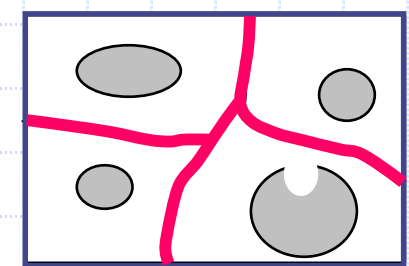
$$IZ(X_i) = \{x, d(x, X_i) < d(x, X \setminus X_i)\}$$

le squelette par zones d'influences de X :

$$SKIZ(X) = X \setminus \bigcup_i IZ(X_i)$$

et le squelette de X :

$$SK(X) = \{x \in X, \exists (p, p') \in \partial X^2, p \neq p' / d(x, \partial X) = d(s, p) = d(s, p')\}$$

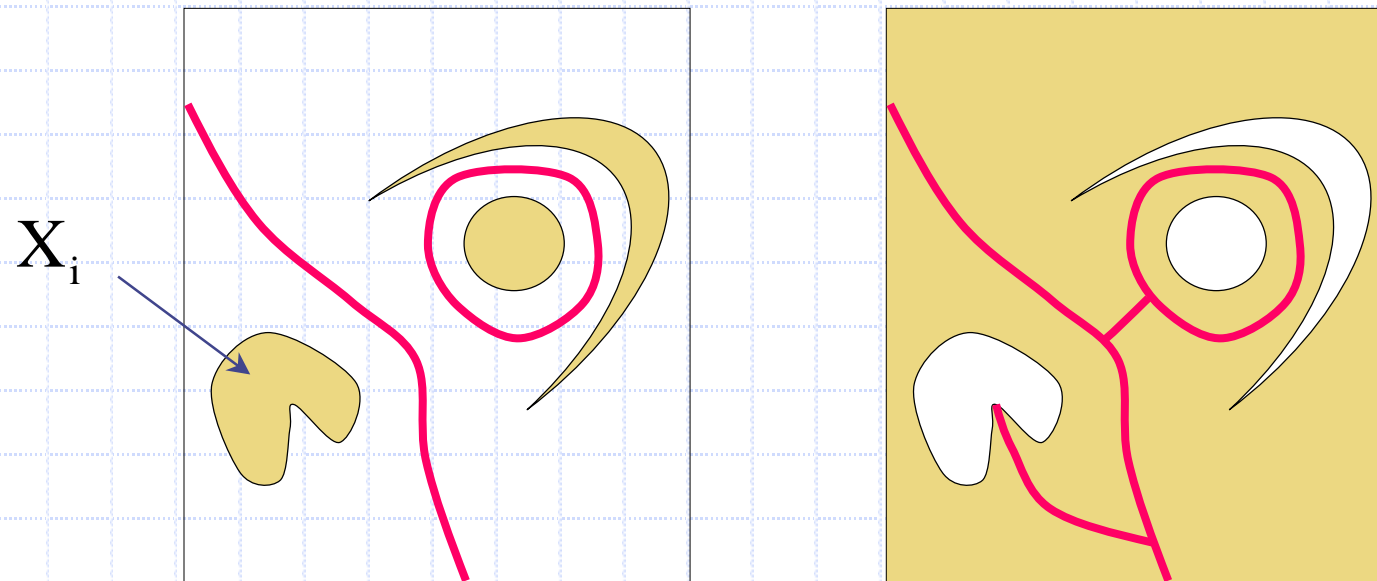


J. Serra. Image Analysis & Mathematical Morphology. Academic Press. Vol 1(1982) et 2 (1988).

M. Schmidt & J. Mattioli. « Morphologie Mathématique ». 1994. Masson.

Squelette : propriété

$$SK(X) = \{x \in X, \exists (p, p') \in \partial X^2, p \neq p' / d(x, \partial X) = d(s, p) = d(s, p')\}$$
$$SKIZ(X) = X \setminus \bigcup_i \{x, d(x, X_i) < d(x, X \setminus X_i)\}$$



$SKIZ(X)$

\subset

$SK(X^c)$

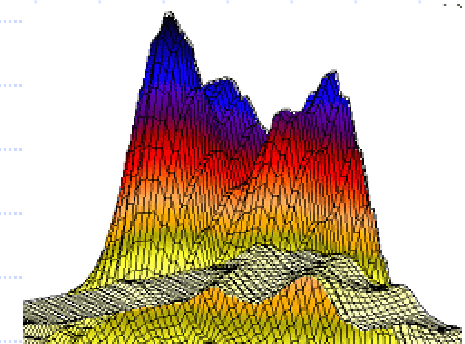
Ligne de partage des eaux

Soit f de classe C^1 / $f(m) = 0$ si m est un minimum local.
On définit :

$$LPE(f) = \{x, \exists (m, m') \text{minima locaux} / d_f(x, m) = d_f(x, m')\}$$

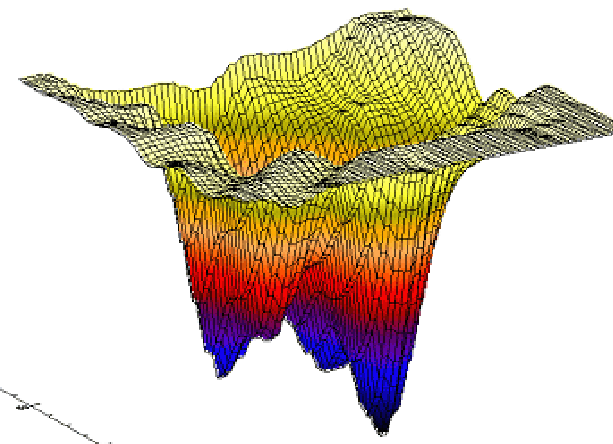
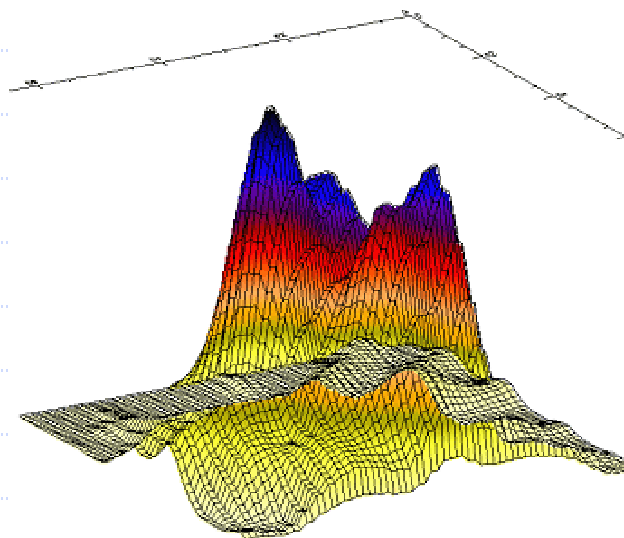
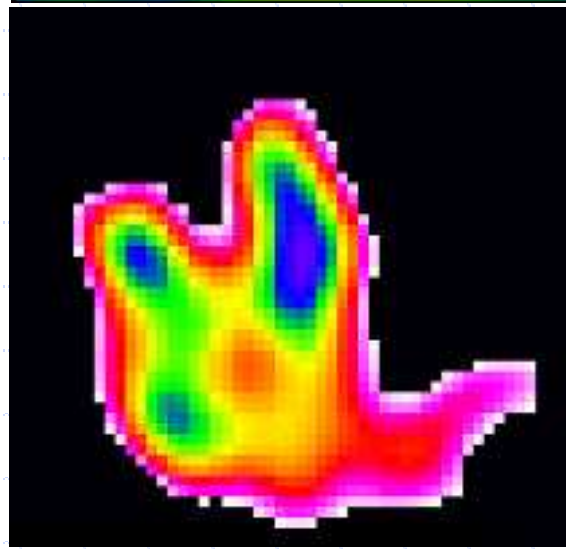
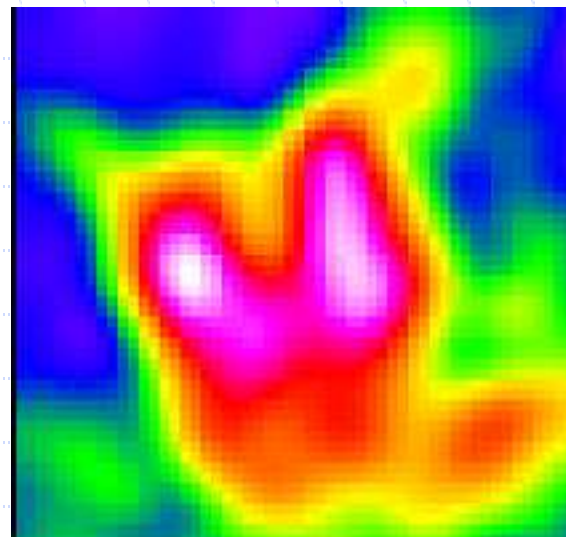
où :

$$d_f(a, b) = \inf_{\gamma_{a,b}} \int_a^b \|\nabla f(\gamma_{a,b}(s))\| ds$$



Propriété : la LPE est un SKIZ($U\{m_i\}$) pour d_f

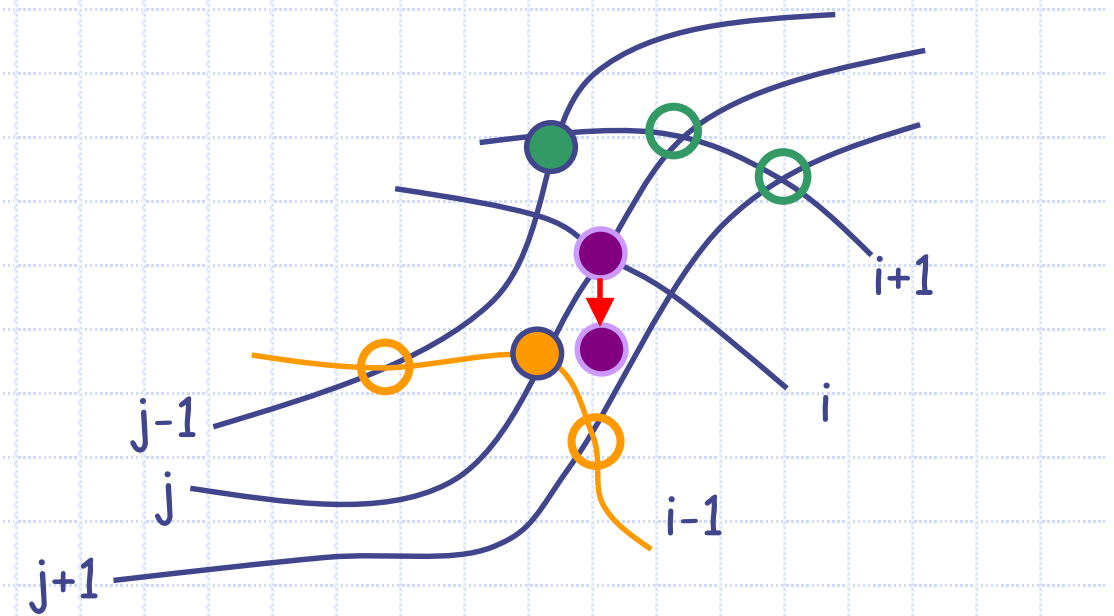
Intérêt en segmentation



LPE par amincissement homotopique

si $f_{\max} < f(i, j) \leq f_{\min}$ alors $f(i, j) = f_{\max}$

$$L = \begin{bmatrix} 1 & 0 & -1 \\ 1 & 0 & -1 \\ 1 & 0 & -1 \end{bmatrix}$$

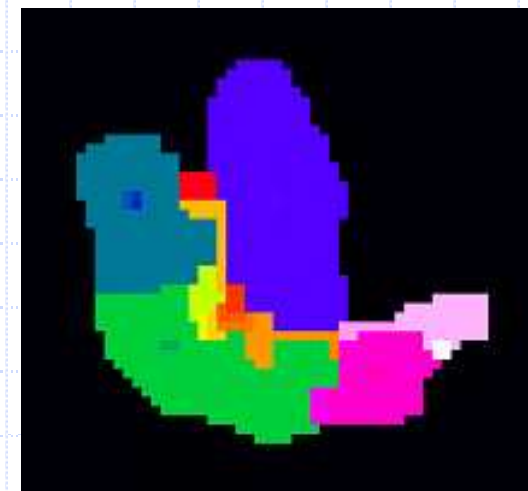


Ebarbulage par amincissement

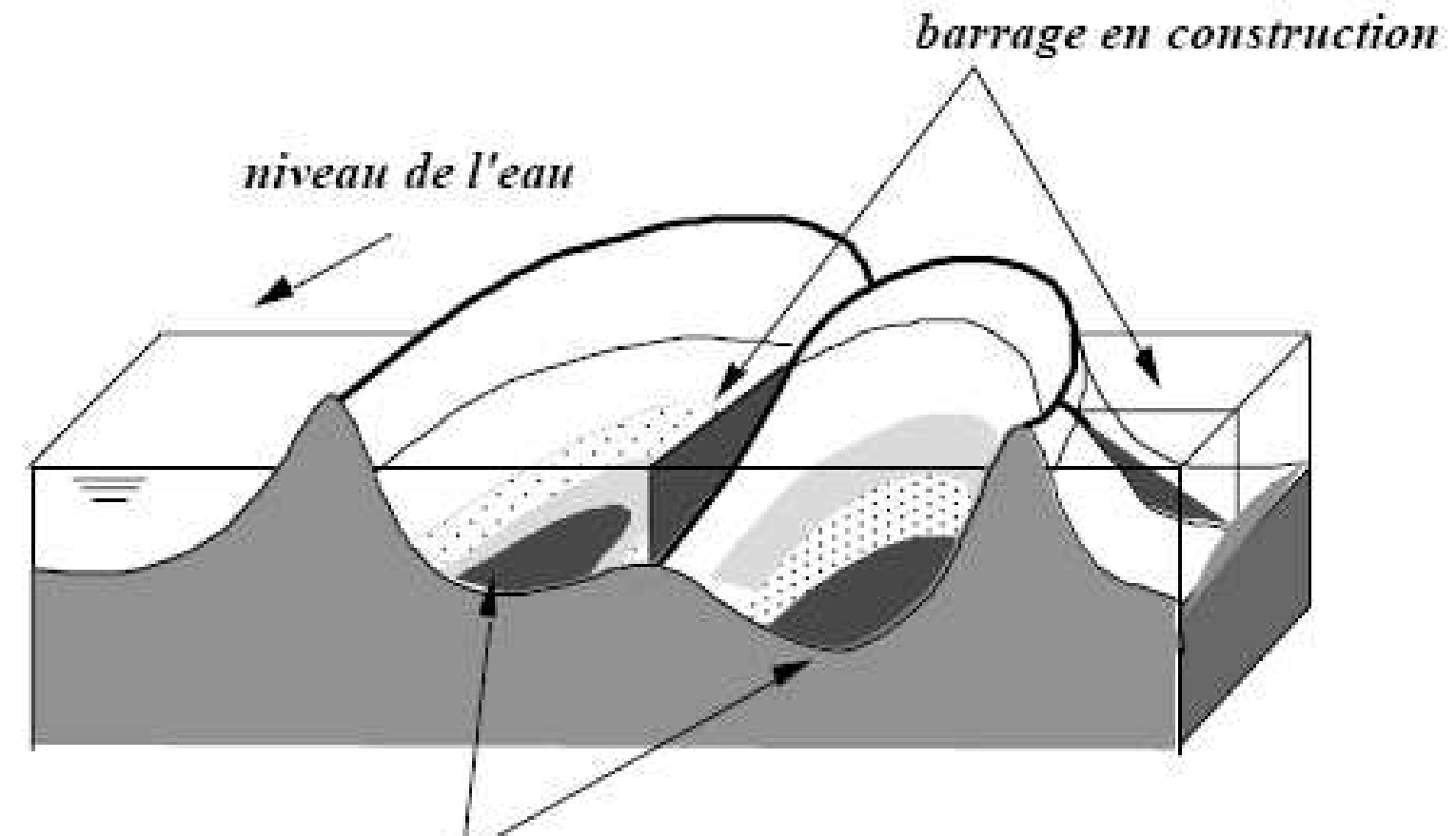
$$Sq = (f \circ L_i)^\infty$$

Ebarbulage : 2° amincissement par:

$$L' = \begin{bmatrix} 0 & 1 & 0 \\ 1 & -1 & 1 \\ 0 & 0 & 0 \end{bmatrix}$$

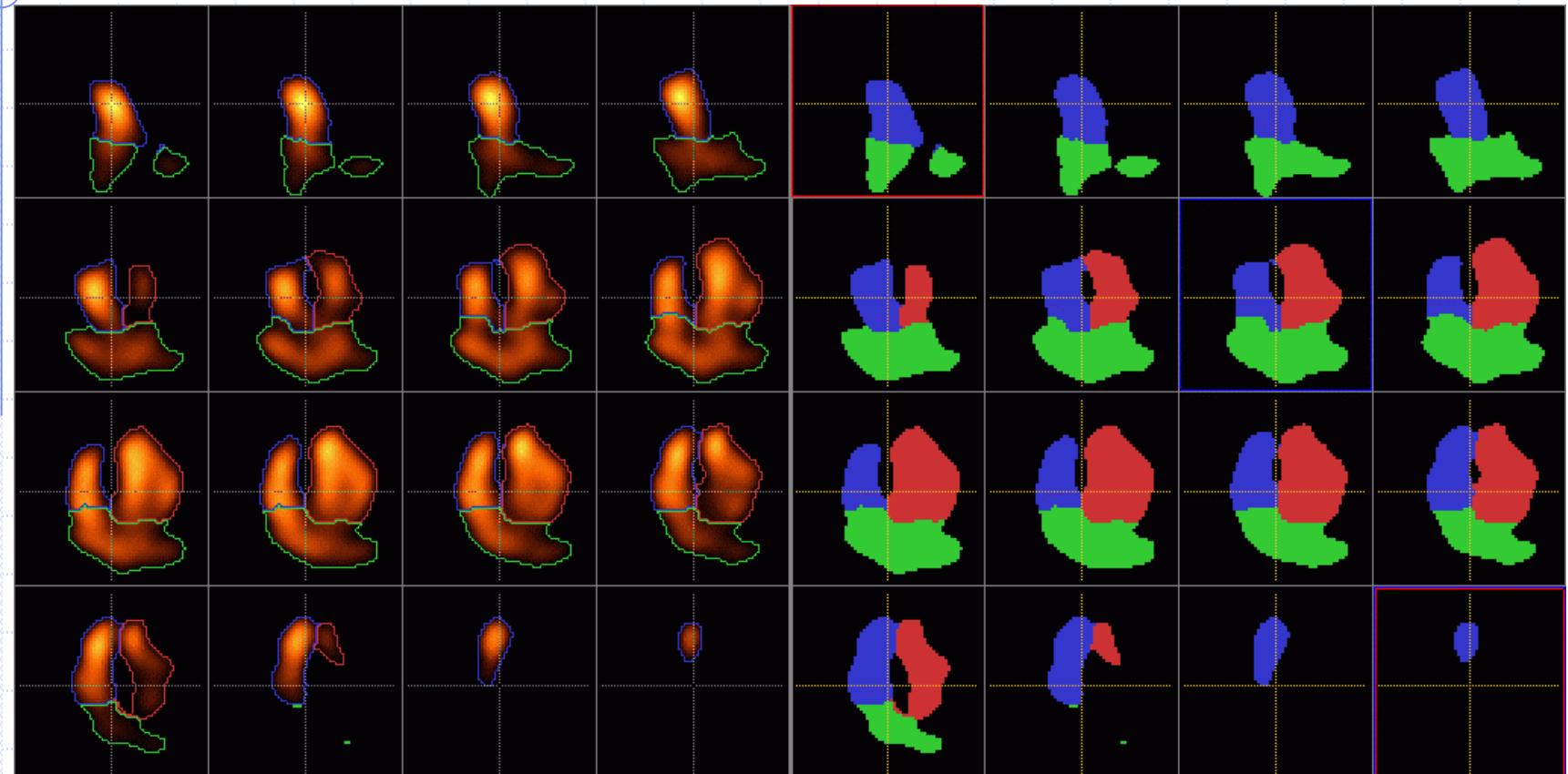


LPE par immersion

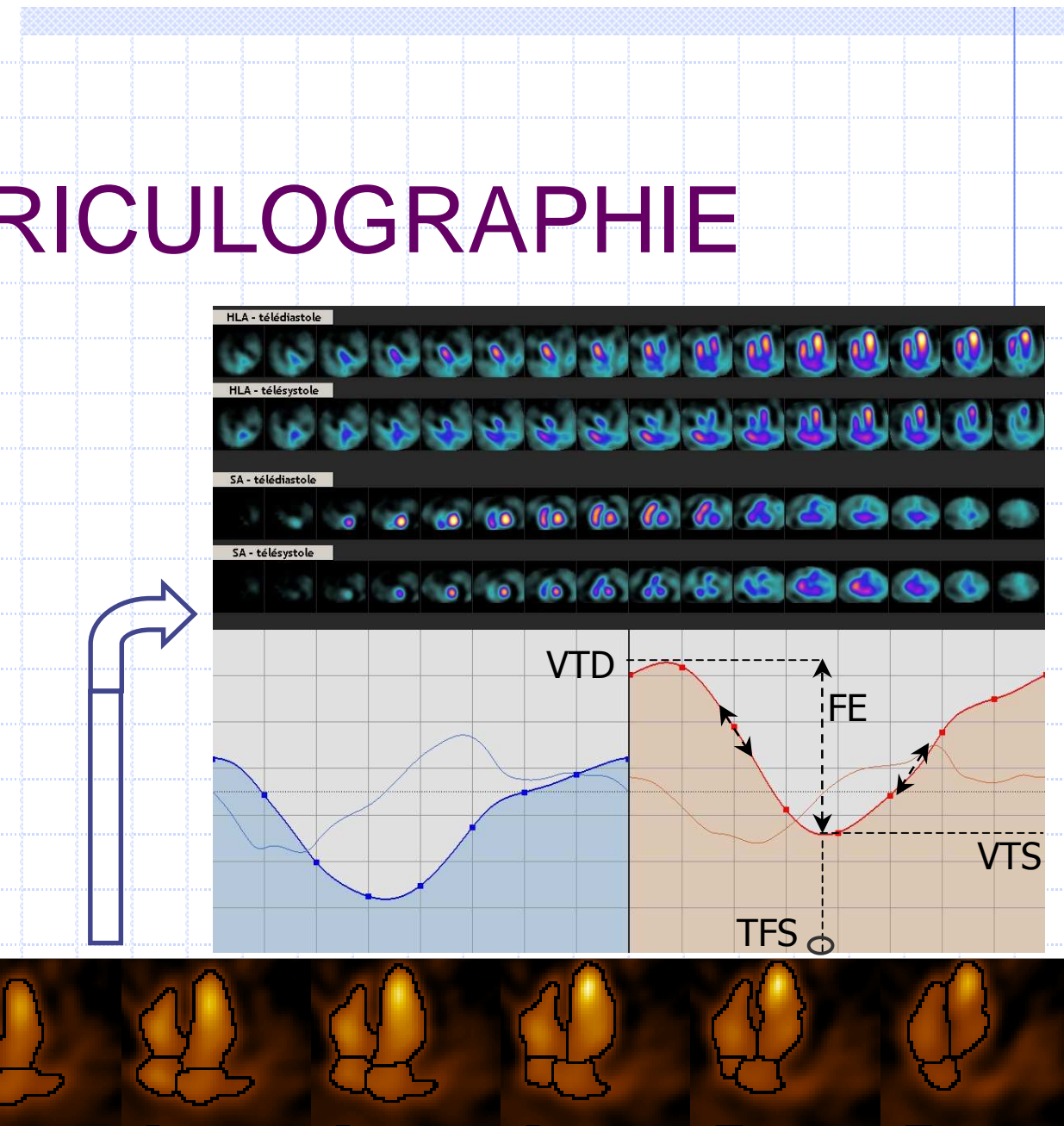
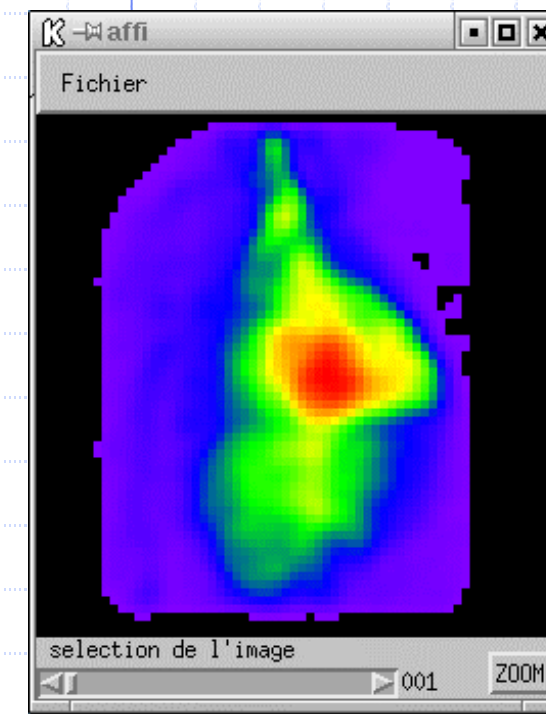


Schmitt M, Mattioli J. « Morphologie mathématique ». Paris, Masson, 1993.

Résultats

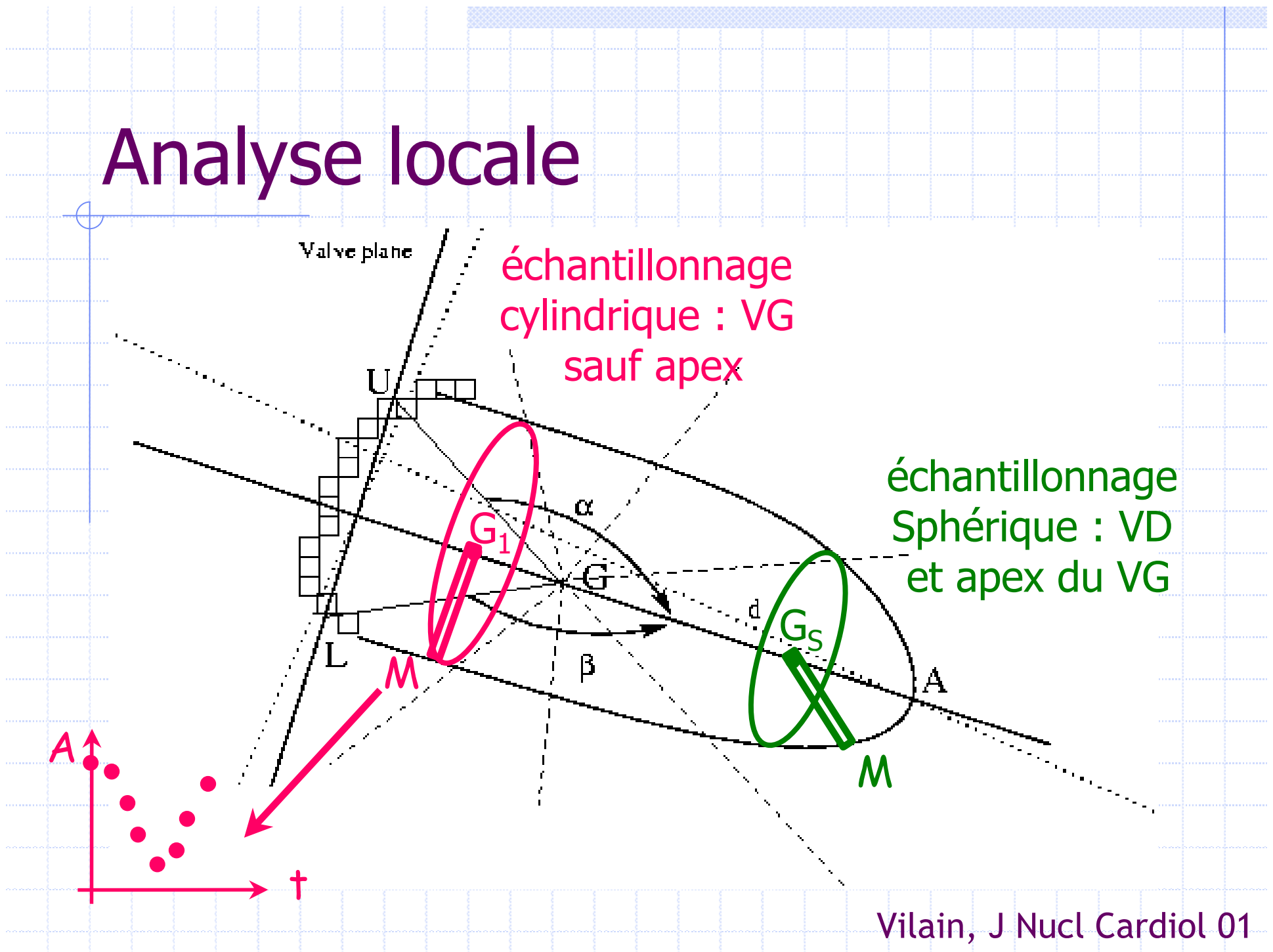


TOMO-VENTRICULOGRAPHIE

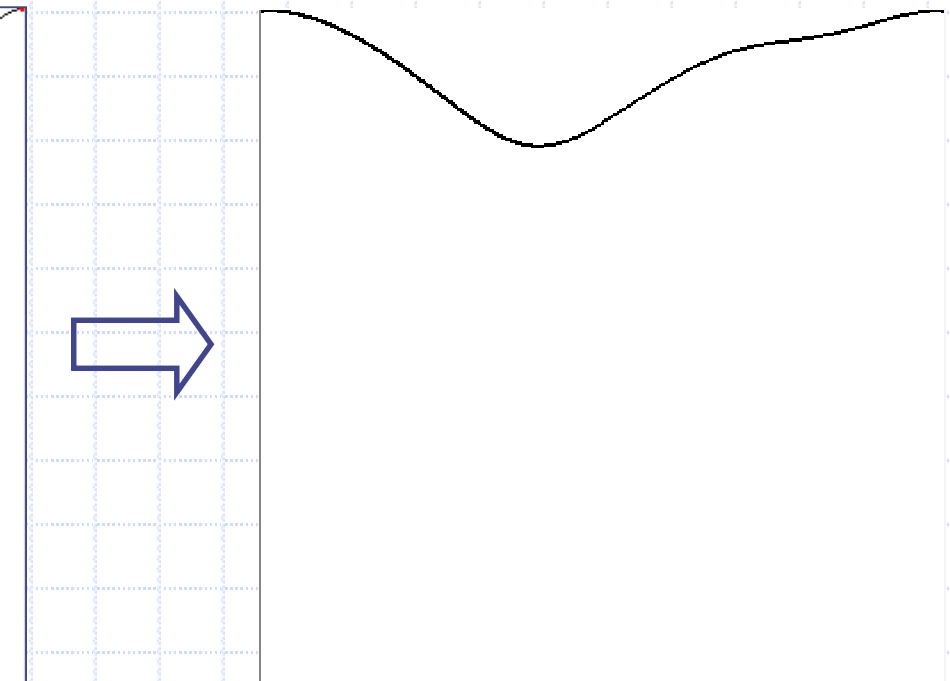
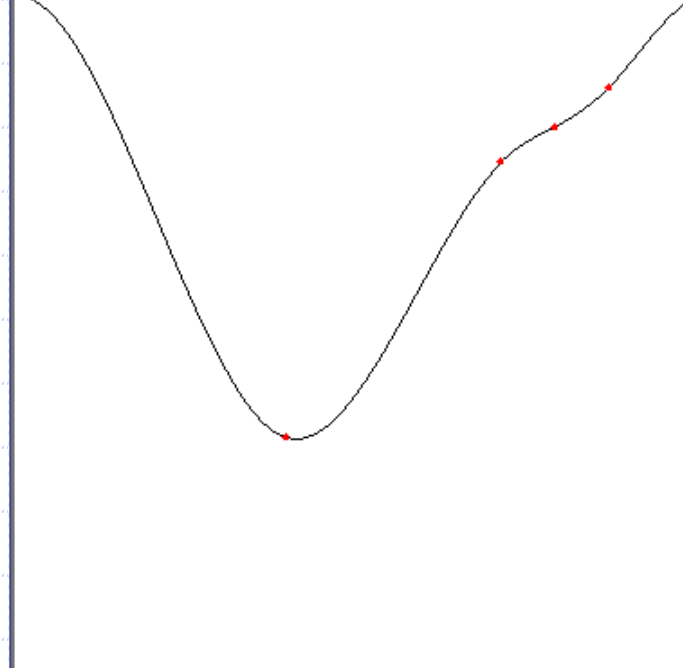


Mariano-Goulart et al. EJNM 1998;22 et EJNM 2001;28- Daou et al. JNM 2001;42

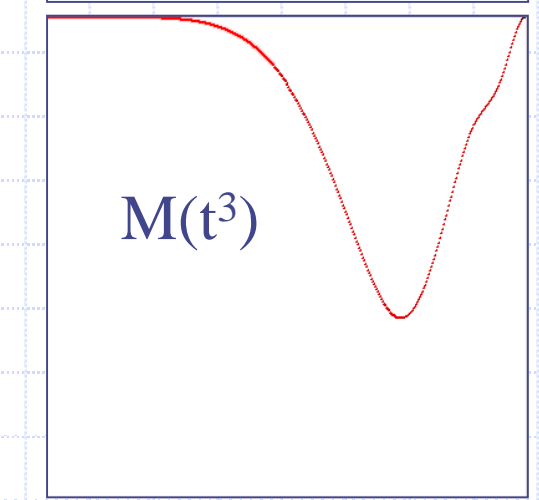
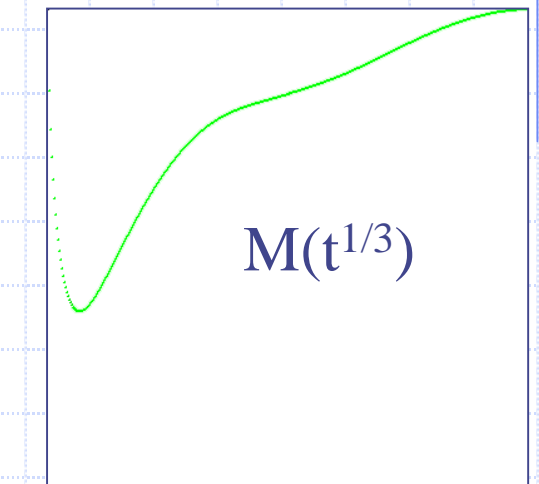
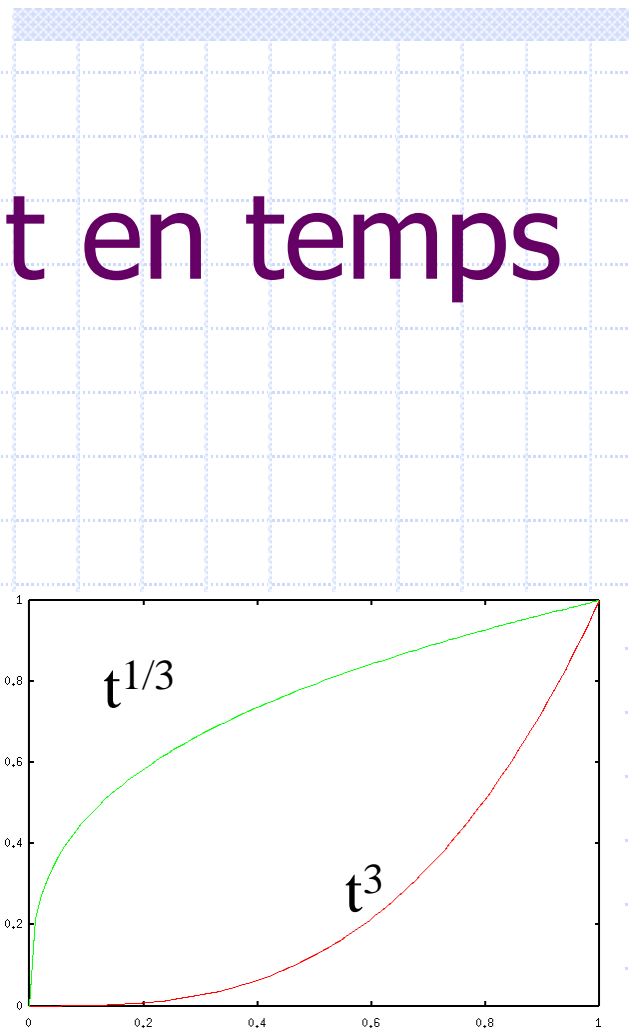
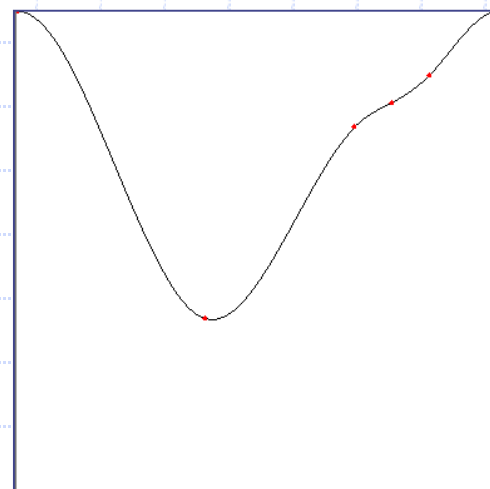
Analyse locale



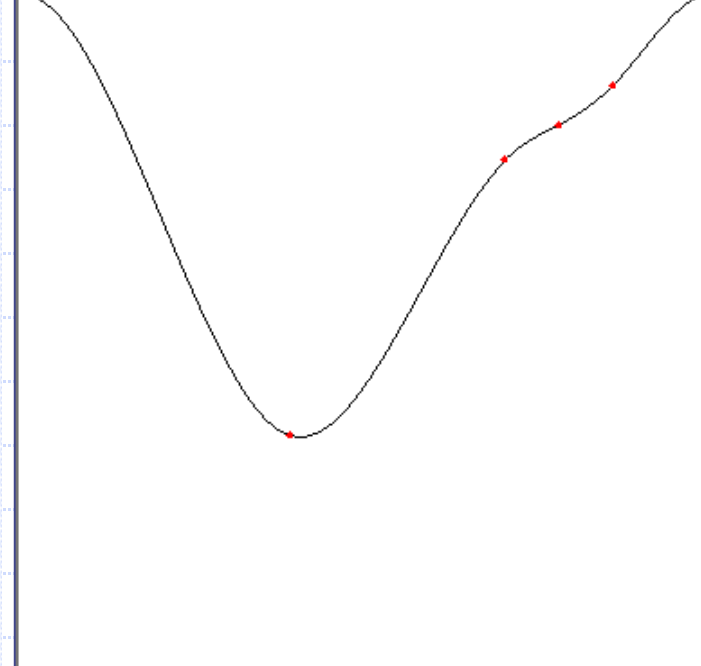
Ajustement en amplitude



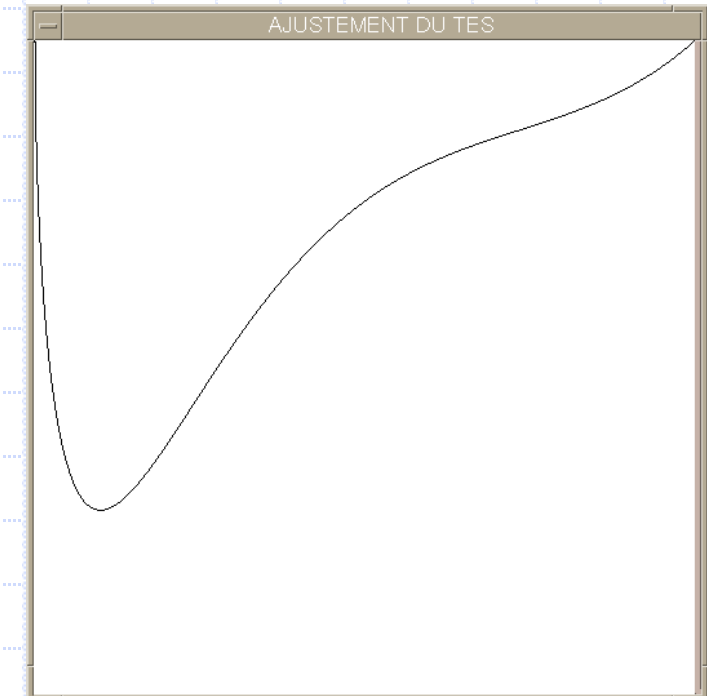
Ajustement en temps



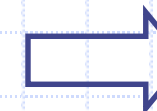
Ajustement en temps



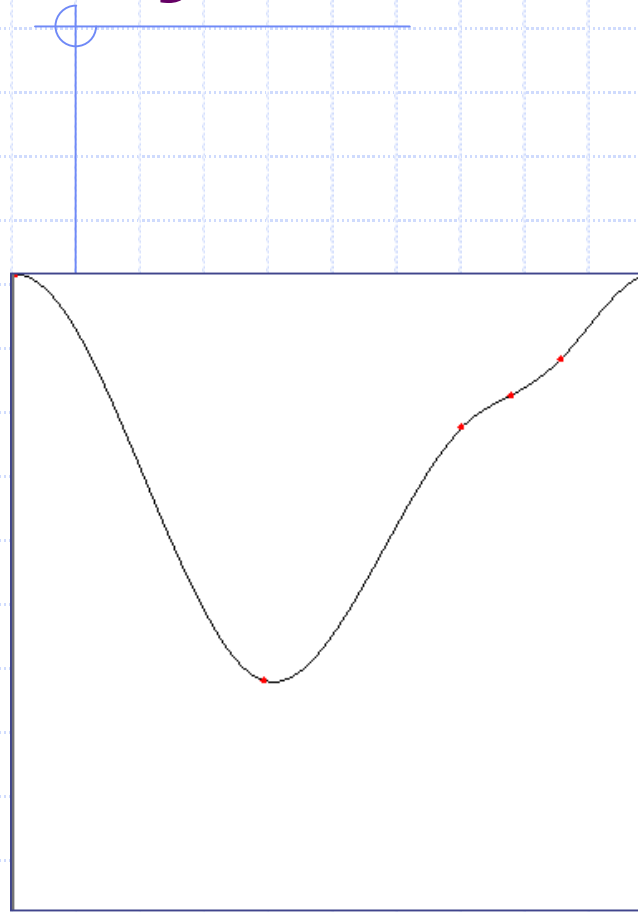
$M(t)$



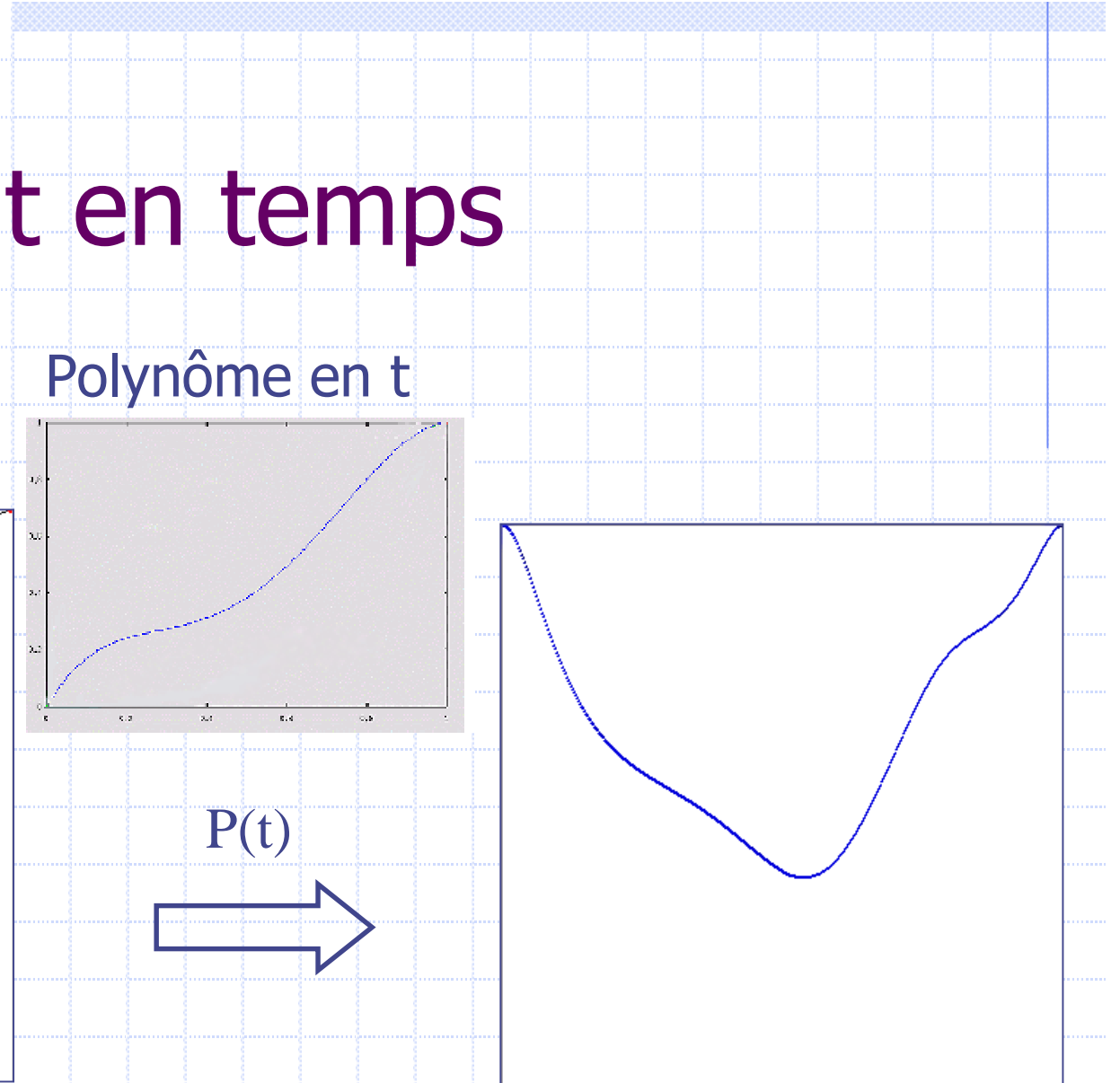
$D(t) = M(t^\alpha)$



Ajustement en temps



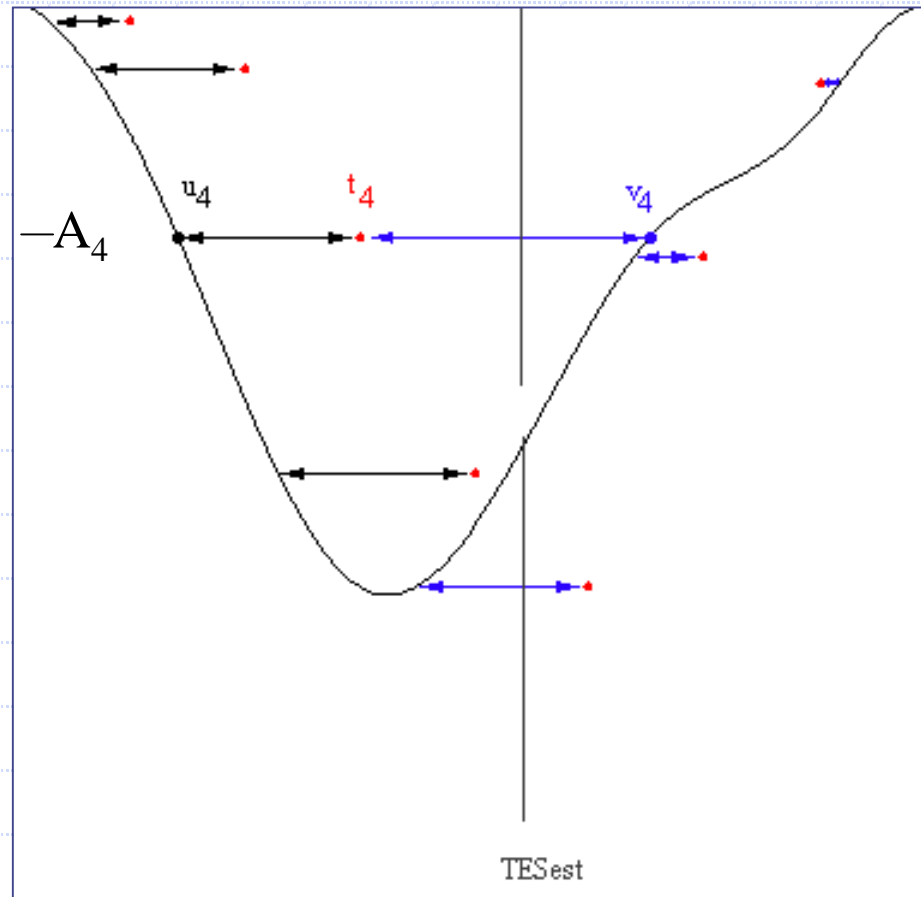
$M(t)$



$D(t) = M[P(t)]$

Polynôme en t

AJUSTEMENT D'UN MODELE



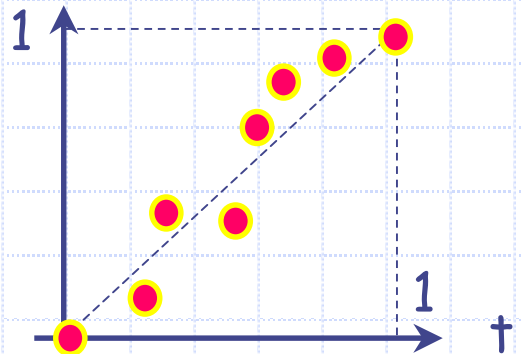
Acquisition bruitée (t_4, A_4)

$$A_4 = M(u_4)$$

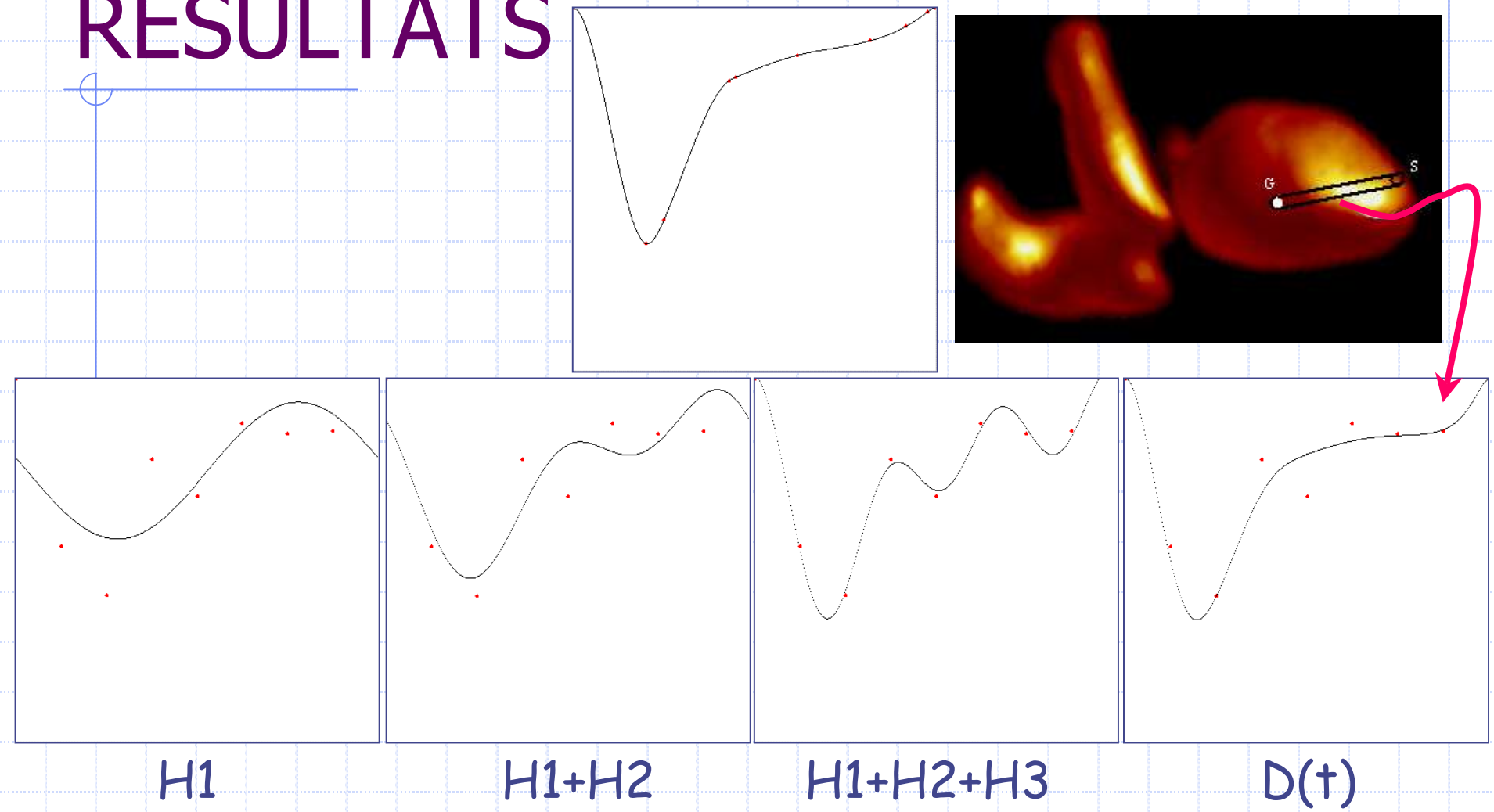
$$A_4 = D(t_4) = M[P(t_4)]$$

$$P(t_4) = u_4$$

$P(t)$



RESULTATS

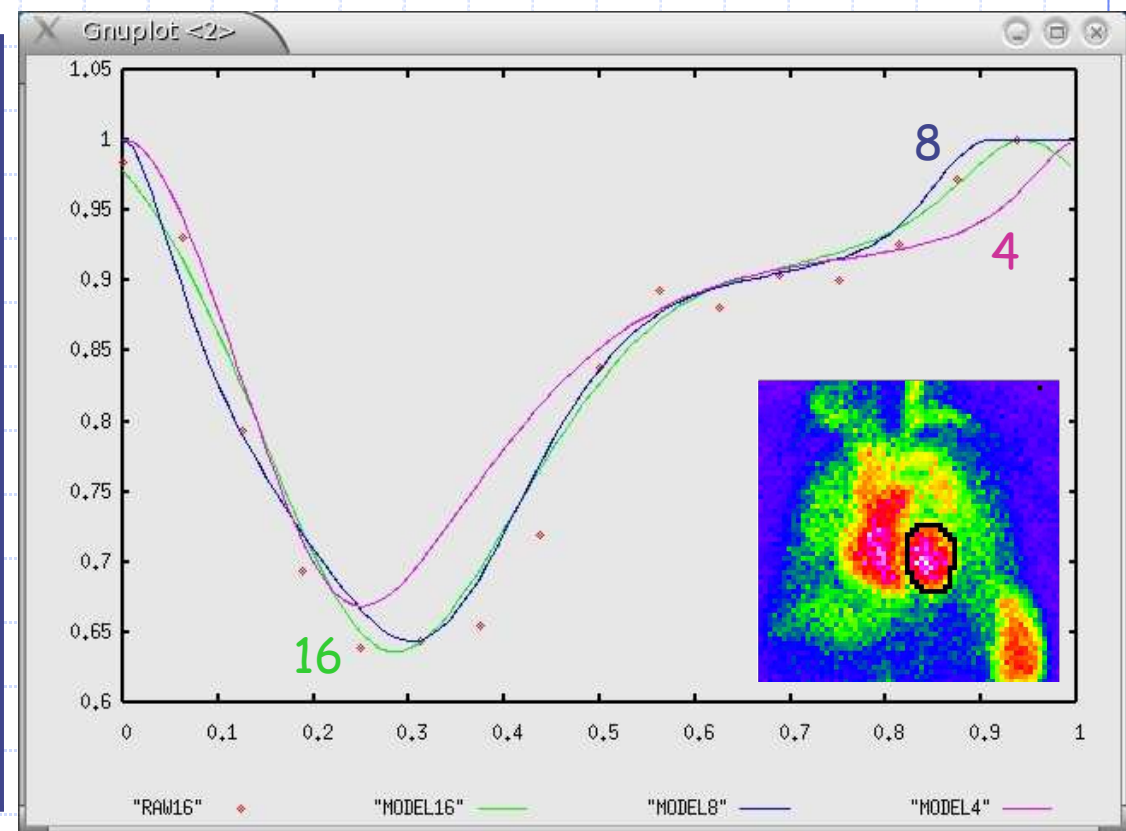


Validation

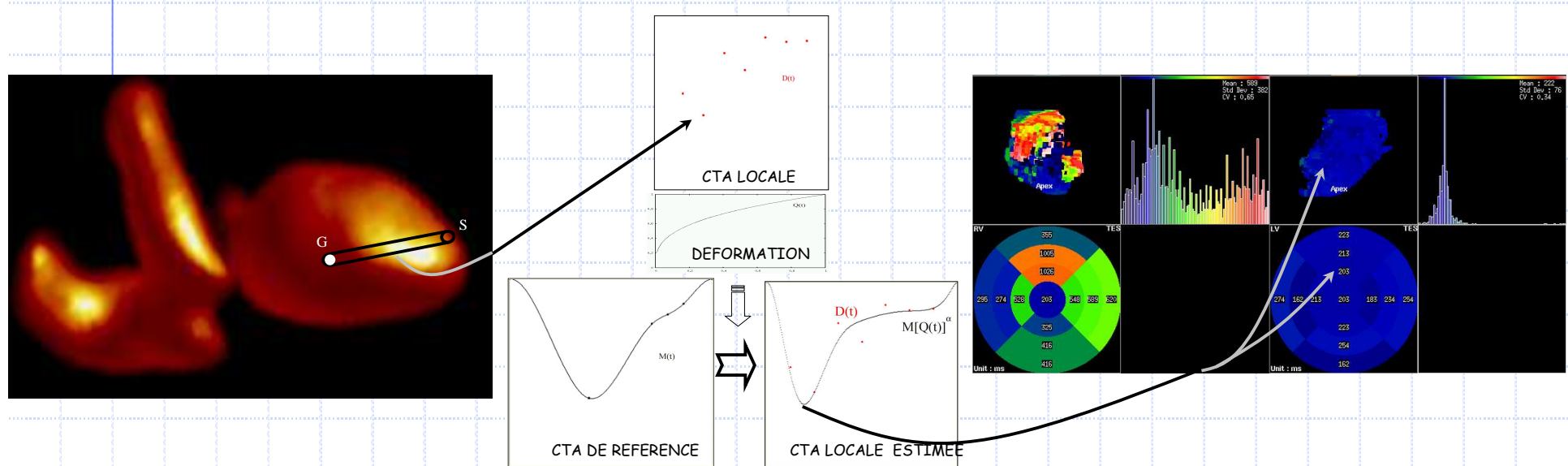
<i>200 ms, 65%</i>	H1	H2	H3	M
TES (ms)	81.4 ± 9.9	44.2 ± 6.2	24.2 ± 6.8	15.0 ± 12
EF (%)	-16.5 ± 2	-2.5 ± 2.2	0.9 ± 2.3	0.4 ± 3.4
PER (EDA.s^{-1})	3.74 ± 0.06	2.15 ± 0.14	1.21 ± 0.27	0.48 ± 0.63
PFR (EDA.s^{-1})	-0.80 ± 0.06	$0.20^* \pm 0.19$	0.23 ± 0.3	$0.20^* \pm 0.42$
<i>400 ms, 65%</i>	H1	H2	H3	M
TES (ms)	29.5 ± 7.7	-8.6 ± 8.9	0.8 ± 16.6	-6.5 ± 15.7
EF (%)	-5.4 ± 1.8	-0.6 ± 2.0	-0.7 ± 2.1	0.5 ± 2.1
PER (EDA.s^{-1})	0.54 ± 0.06	-0.28 ± 0.16	-0.25 ± 0.29	-0.19 ± 0.37
PFR (EDA.s^{-1})	0.13 ± 0.06	0.05 ± 0.19	0.25 ± 0.27	0.20 ± 0.39
<i>600 ms, 65%</i>	H1	H2	H3	M
TES (ms)	-27.7 ± 8.2	-19.8 ± 7.5	-13.4 ± 8.4	-7.3 ± 11.4
EF (%)	-9.5 ± 1.8	-3.5 ± 2.0	-0.24 ± 2.3	-0.05 ± 2.4
PER (EDA.s^{-1})	0.36 ± 0.06	0.38 ± 0.2	-0.47 ± 0.3	0.3 ± 0.3
PFR (EDA.s^{-1})	-1.65 ± 0.06	-0.73 ± 0.18	0.3 ± 0.3	-0.17 ± 0.39
<i>200 ms, 20%</i>	H1	H2	H3	M
TES (ms)	48.7 ± 40.9	21.1 ± 25.6	6.9 ± 27.3	15.9 ± 44.2
EF (%)	-6.6 ± 2.9	-1.4 ± 3.2	1.14 ± 3.5	0.16 ± 3.7
PER (EDA.s^{-1})	1.08 ± 0.09	0.57 ± 0.2	0.16 ± 0.32	0.37 ± 0.43
PFR (EDA.s^{-1})	-0.47 ± 0.09	-0.07 ± 0.19	0.30 ± 0.3	-0.06 ± 0.33
<i>400 ms, 20%</i>	H1	H2	H3	M
TES (ms)	32.4 ± 28.2	$-1.9^* \pm 37$	7.8 ± 57.2	$-2.3^* \pm 48.1$
EF (%)	-1.66 ± 2.2	0.48 ± 3.0	1.82 ± 3.2	0.90 ± 3.2
PER (EDA.s^{-1})	0.17 ± 0.09	-0.12 ± 0.19	-0.28 ± 0.26	-0.20 ± 0.31
PFR (EDA.s^{-1})	-0.01 ± 0.09	0.09 ± 0.16	0.33 ± 0.25	0.14 ± 0.25
<i>600 ms, 20%</i>	H1	H2	H3	M
TES (ms)	-7.0 ± 28.6	7.0 ± 37.6	-6.2 ± 42.9	0.1 ± 42.4
EF (%)	-1.94 ± 2.8	-0.27 ± 2.9	2.00 ± 3.2	0.87 ± 3.2
PER (EDA.s^{-1})	0.15 ± 0.09	0.01 ± 0.18	0.27 ± 0.27	-0.07 ± 0.25
PFR (EDA.s^{-1})	-0.19 ± 0.09	0.03 ± 0.19	0.21 ± 0.24	0.14 ± 0.3

SENSIBILITE A L'ECHANTILLONNAGE

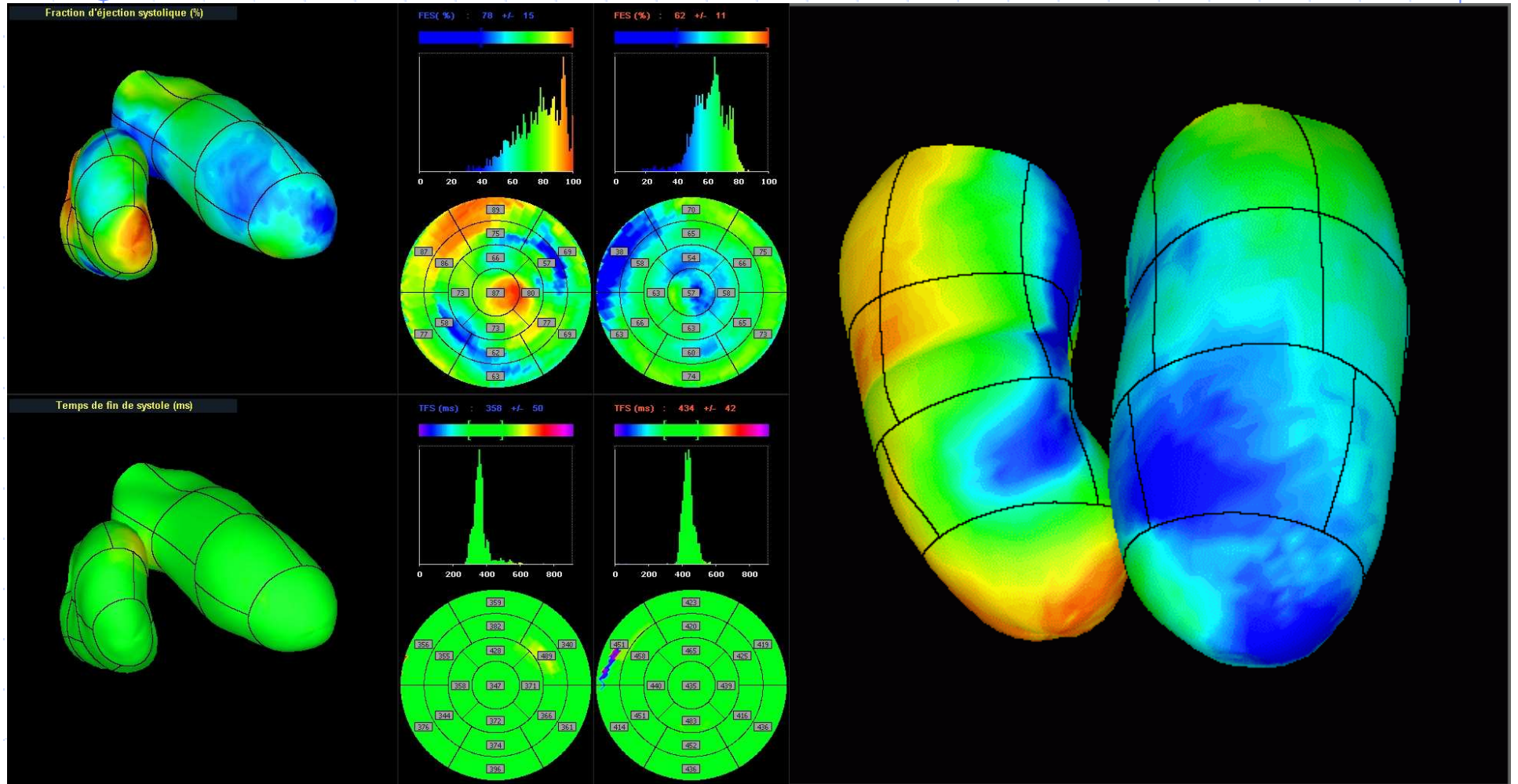
Erreurs 16 > 8	20 %	65 %
TES (ms)	3	6
FE (%)	0.3	2.9
PVM (ATD/s)	0.06	0.3
PEM (ATD/s)	0.04	0.19



ANALYSE 3D DE CTA LOCALES



ANALYSE 3D DE CTA LOCALES

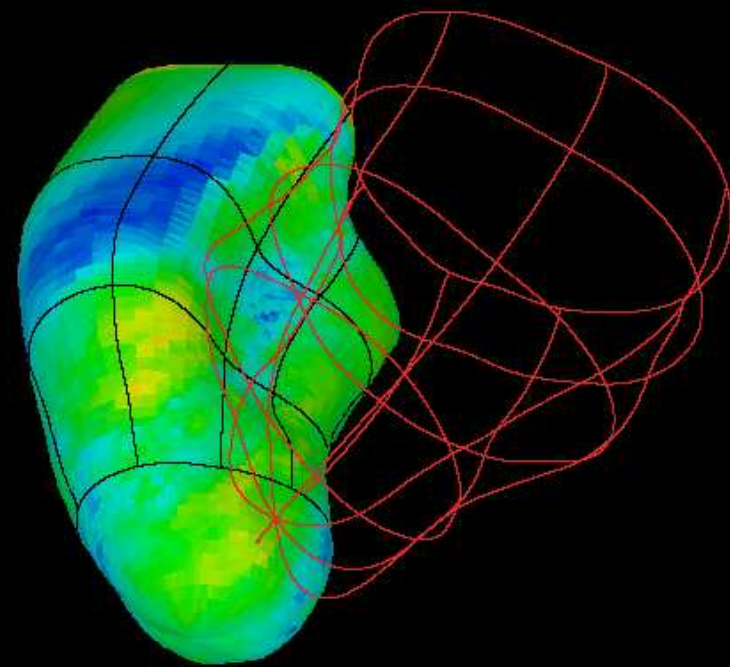


Instant : 1 / 8

Rendu

FES

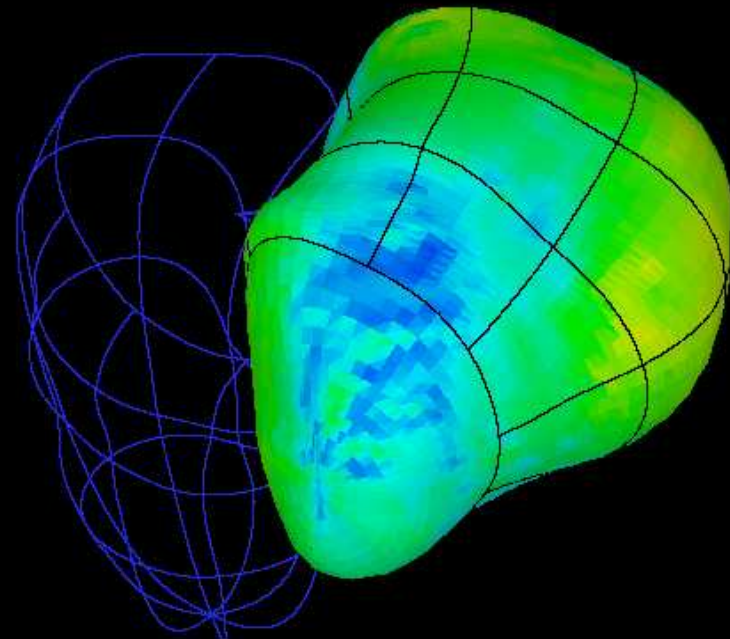
TFS



GAUCHE
DROIT

Volume
Graph.

Fract. Eject. Syst. : 34.97 % +/- 11.17 %
Temps Fin Systole : 317.68 ms +/- 171.69 ms



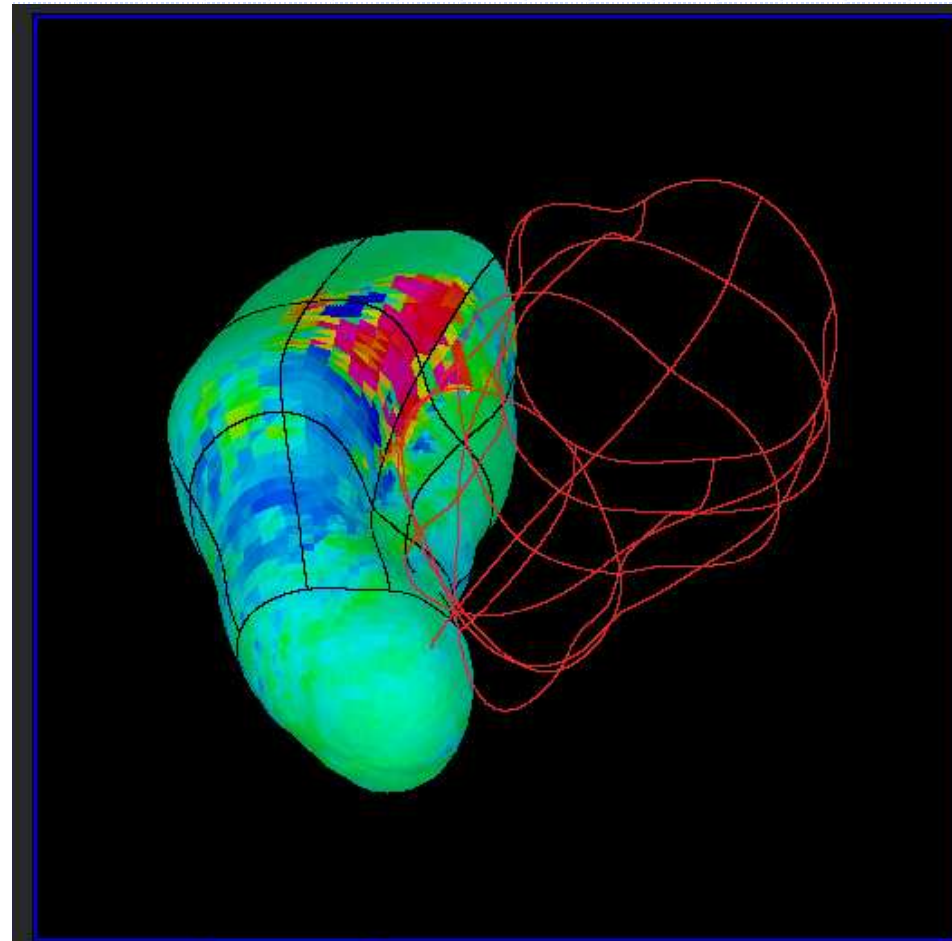
GAUCHE
DROIT

Volume
Graph.

Fract. Eject. Syst. : 37.73 % +/- 10.83 %
Temps Fin Systole : 359.49 ms +/- 93.09 ms

Commentaires :

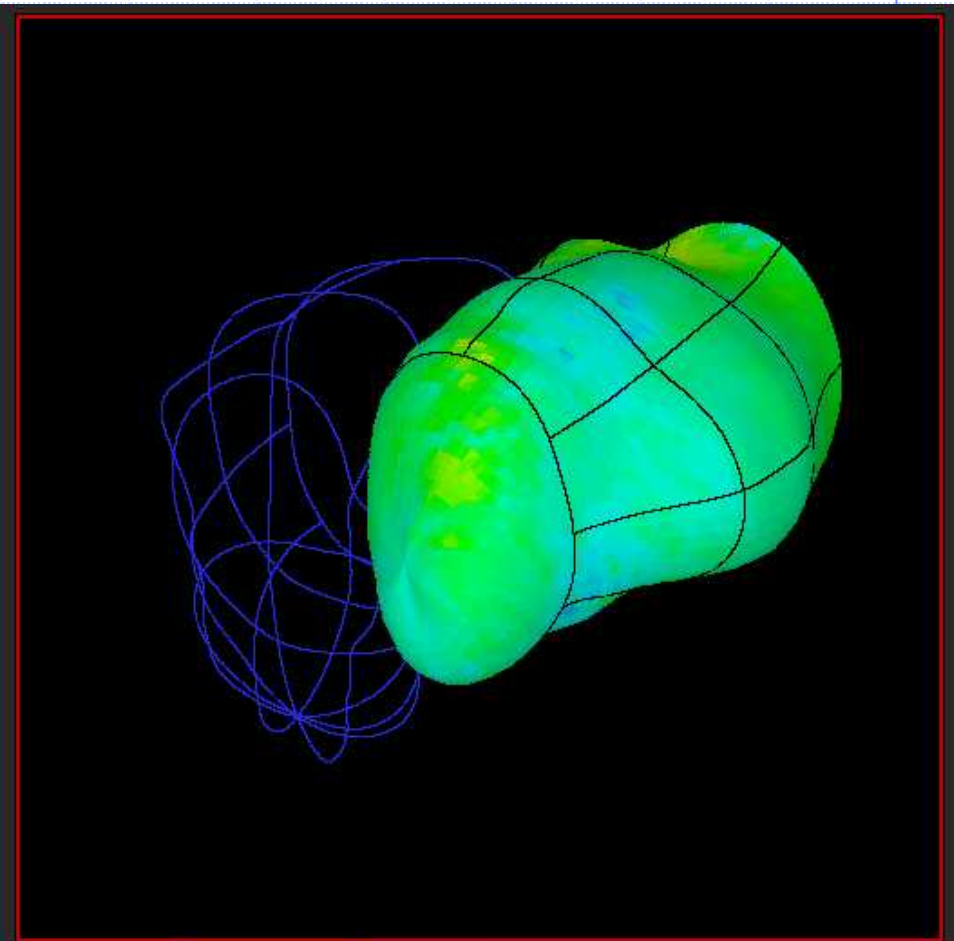
Fraction d'éjection systolique locale



GAUCHE
DROIT

Volume
Graph.

Fract. Eject. Syst. : 33.51 % +/- 9.82 %
Temps Fin Systole : 318.76 ms +/- 144.91 ms



GAUCHE
DROIT

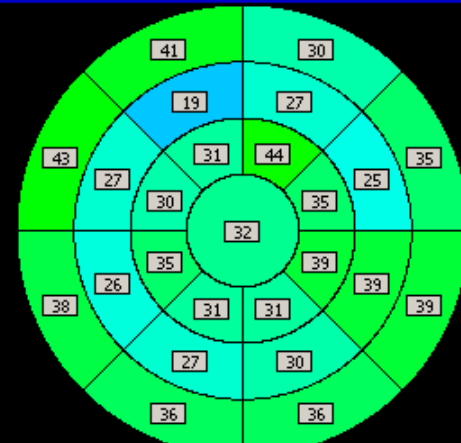
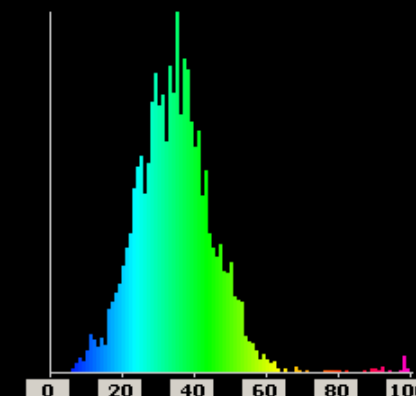
Volume
Graph.

Fract. Eject. Syst. : 37.36 % +/- 10.54 %
Temps Fin Systole : 357.71 ms +/- 84.90 ms

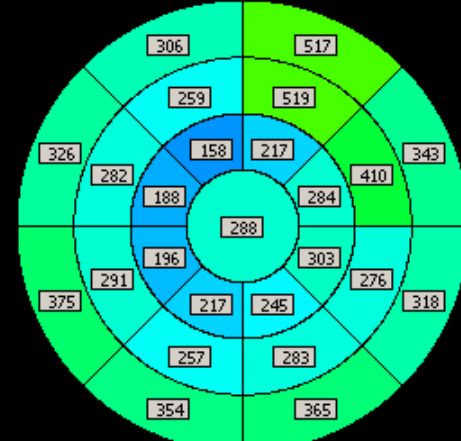
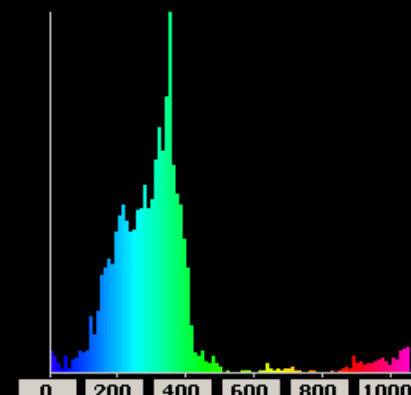
Instant de fin de systole local

Instant : 7 / 8

FES (%)



TFS (ms)



GAUCHE
DROIT

Volume
Graph.

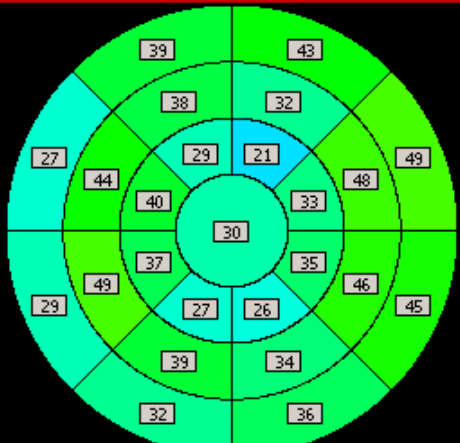
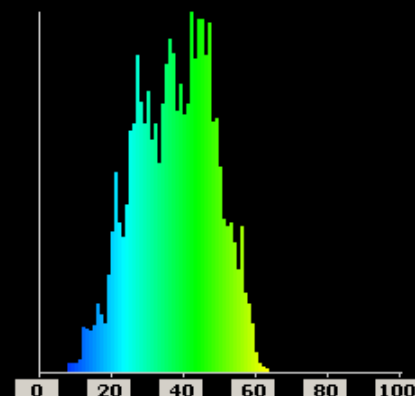
Fract. Eject. Syst. : 34.97 % +/- 11.17 %
Temps Fin Systole : 317.68 ms +/- 171.69 ms

Rendu

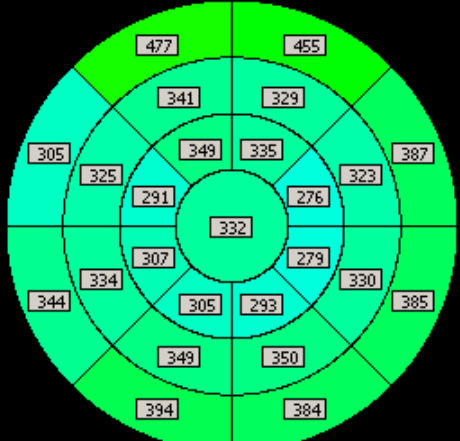
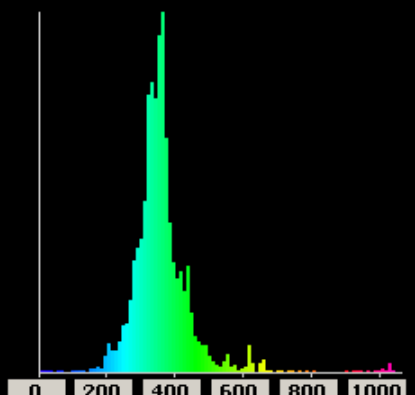
FES

TFS

FES (%)



TFS (ms)



GAUCHE
DROIT

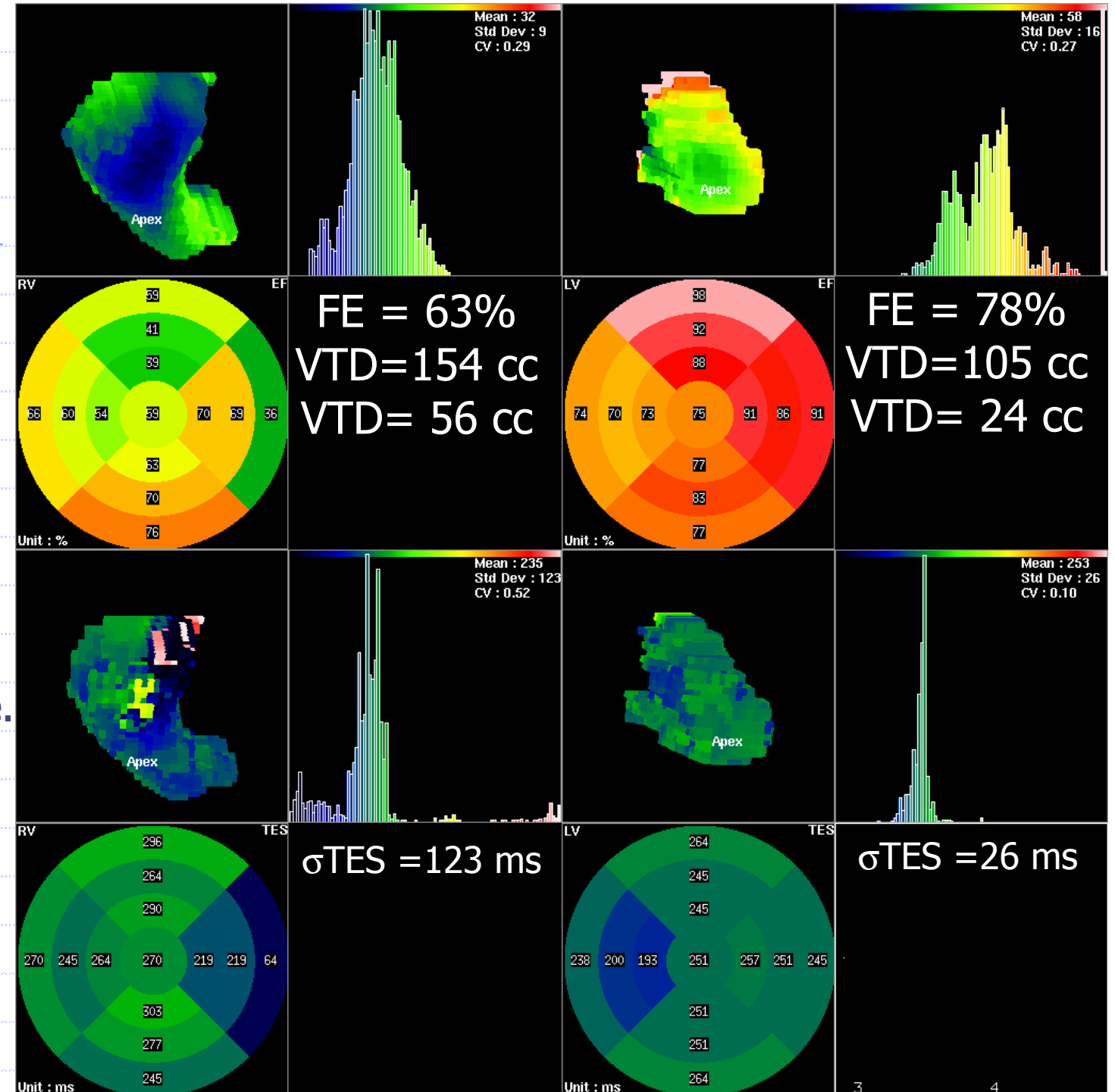
Volume
Graph.

Fract. Eject. Syst. : 37.73 % +/- 10.83 %
Temps Fin Systole : 359.49 ms +/- 93.09 ms

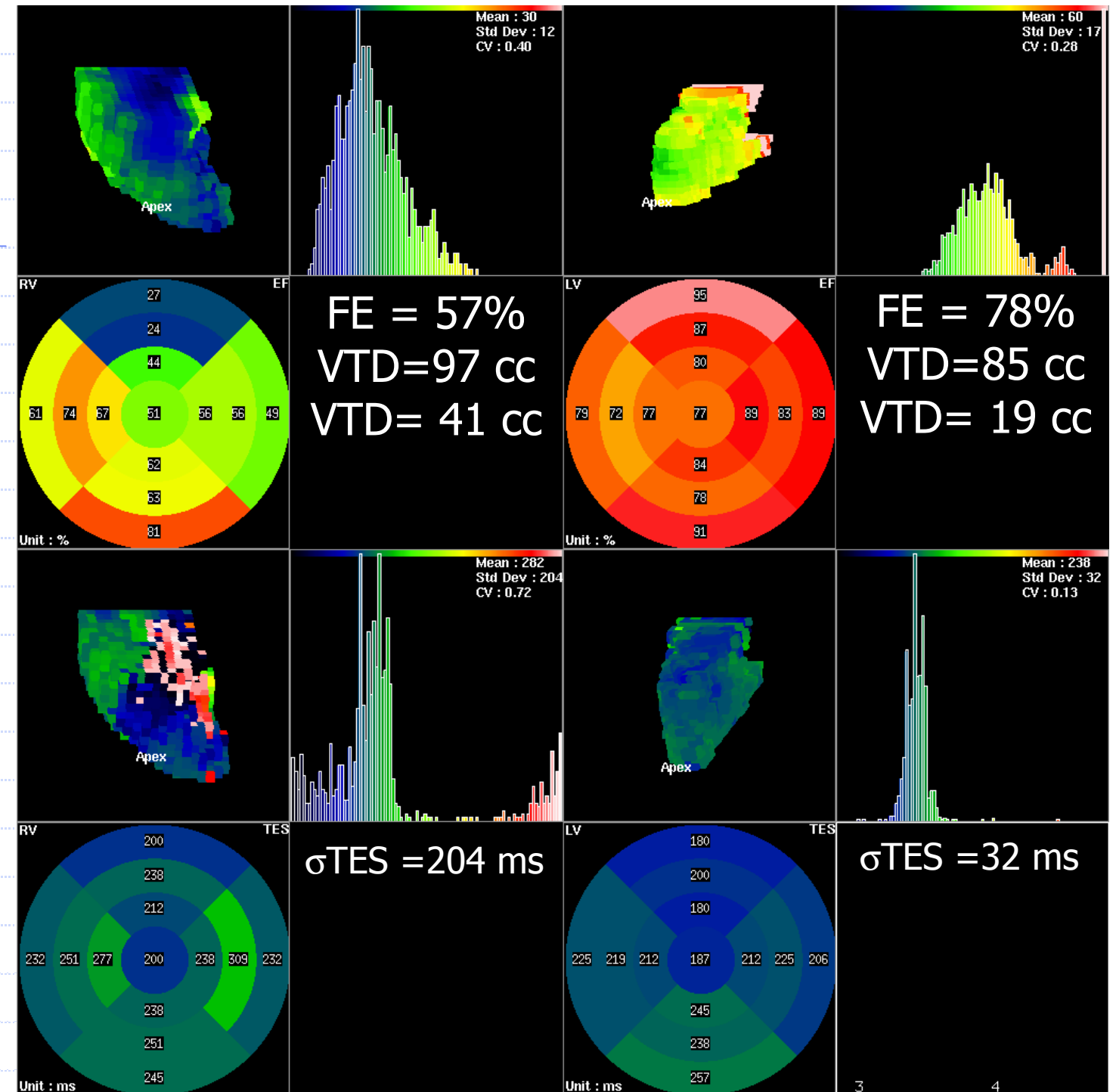
AINE

Décès du père
par arrêt cardiaque.
Nécropsie : DVDA

Acquisitions :
Dr E. Grémillet
(St Etienne)

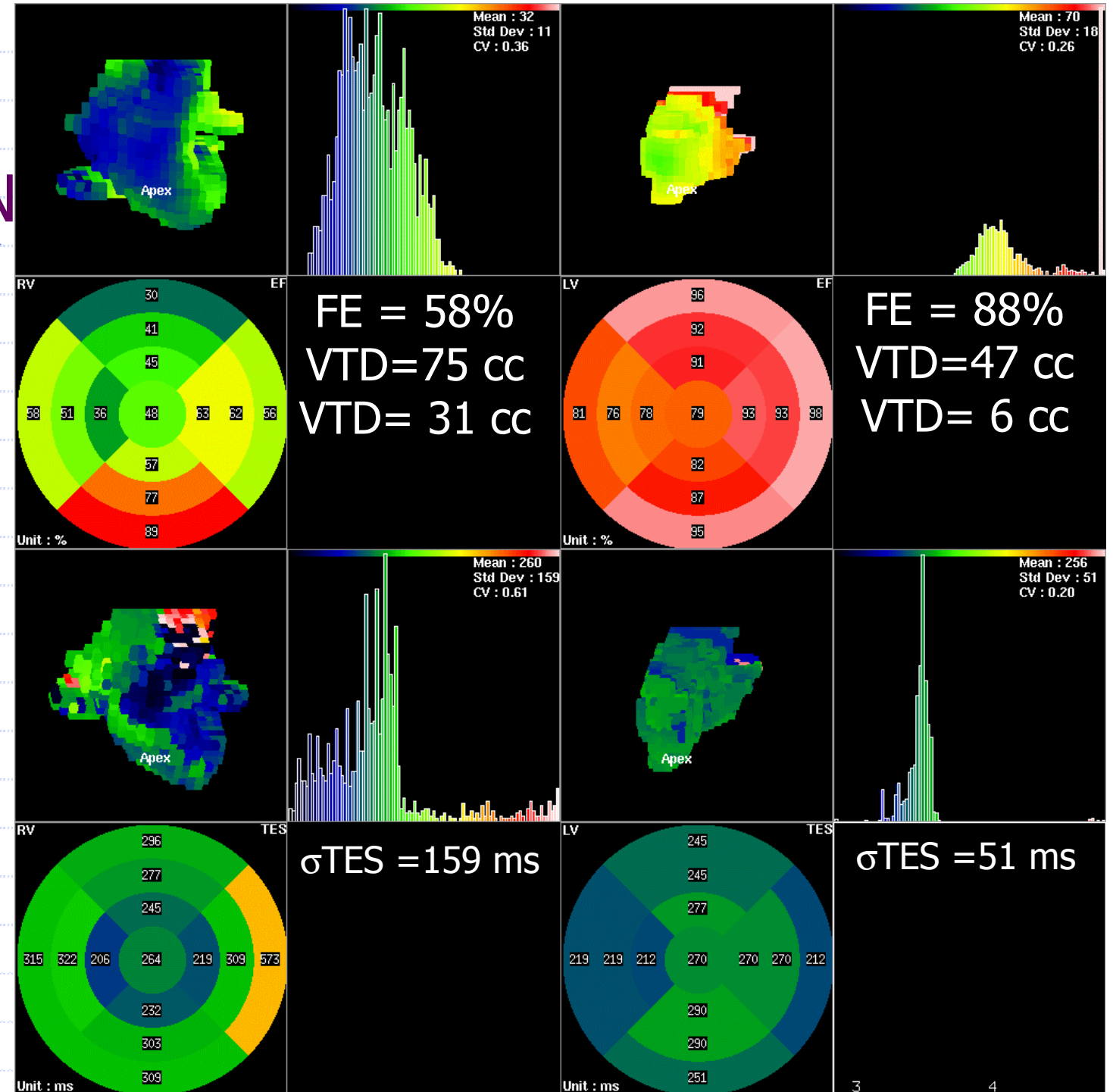


CADET

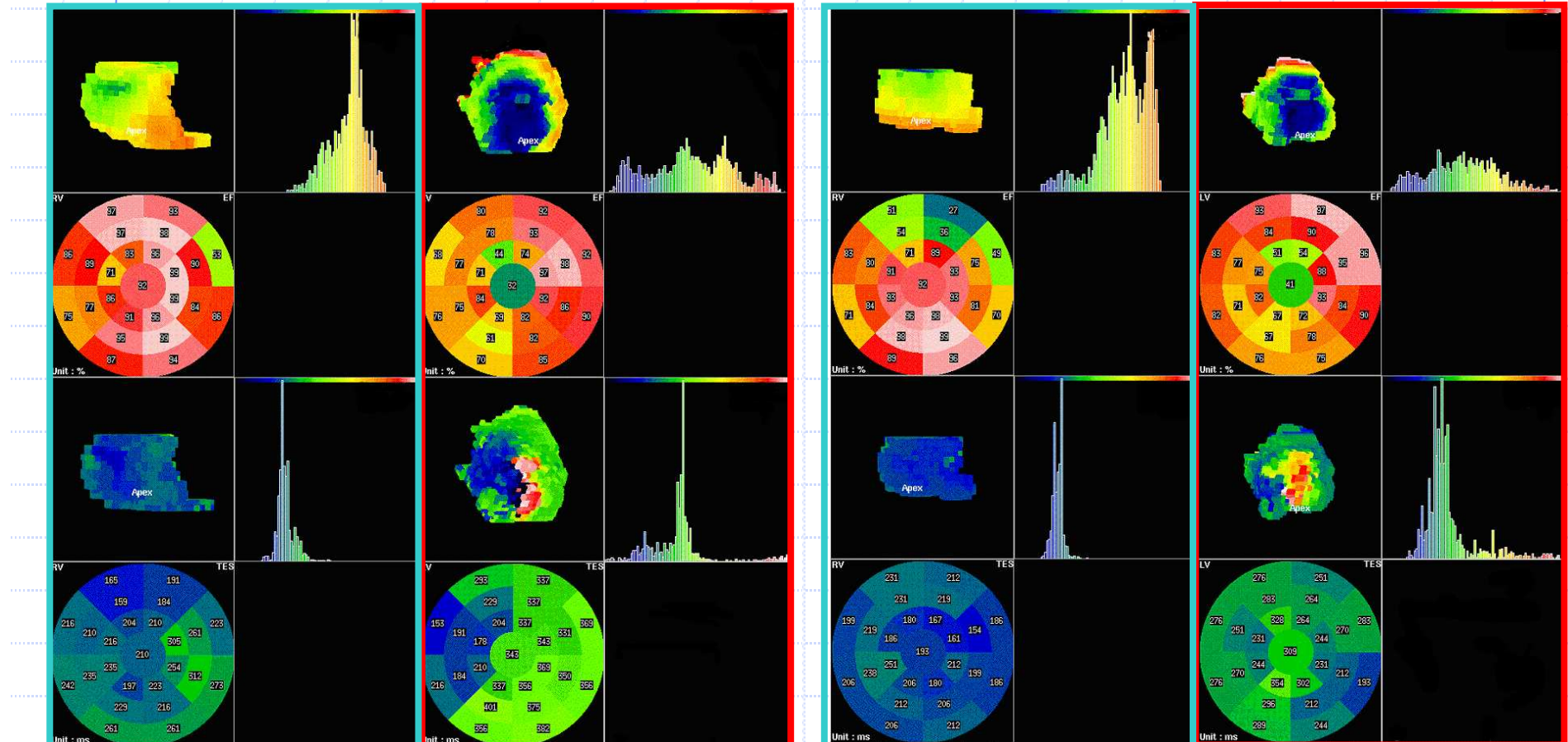


BENJAMIN

Conclusion:
Suspicion
de maladie
de Hühl



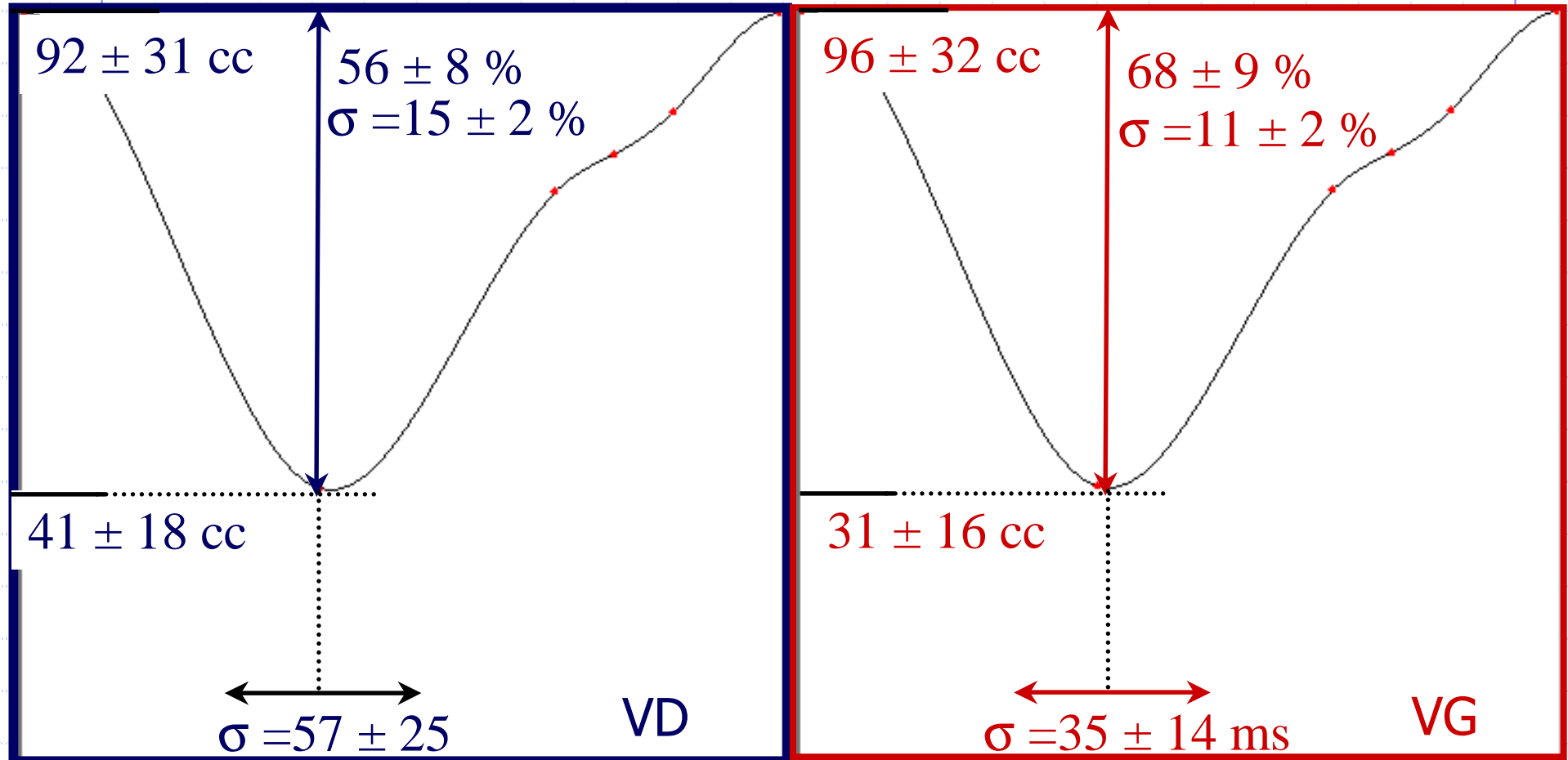
STIMULATION : DIV, Δt , σ_{TES} ...



Non stimulé

Stimulé

Valeurs normales: Moyenne $\pm \sigma$



$$Q = 3.8 \pm 1.1 \text{ L/min}$$

$$Q = 4.7 \pm 0.8 \text{ L/min}$$

QUID DU GATED SPECT ?

Limité au VG

EF, VTS \Rightarrow Pronostic
< Echo 3D et IRM

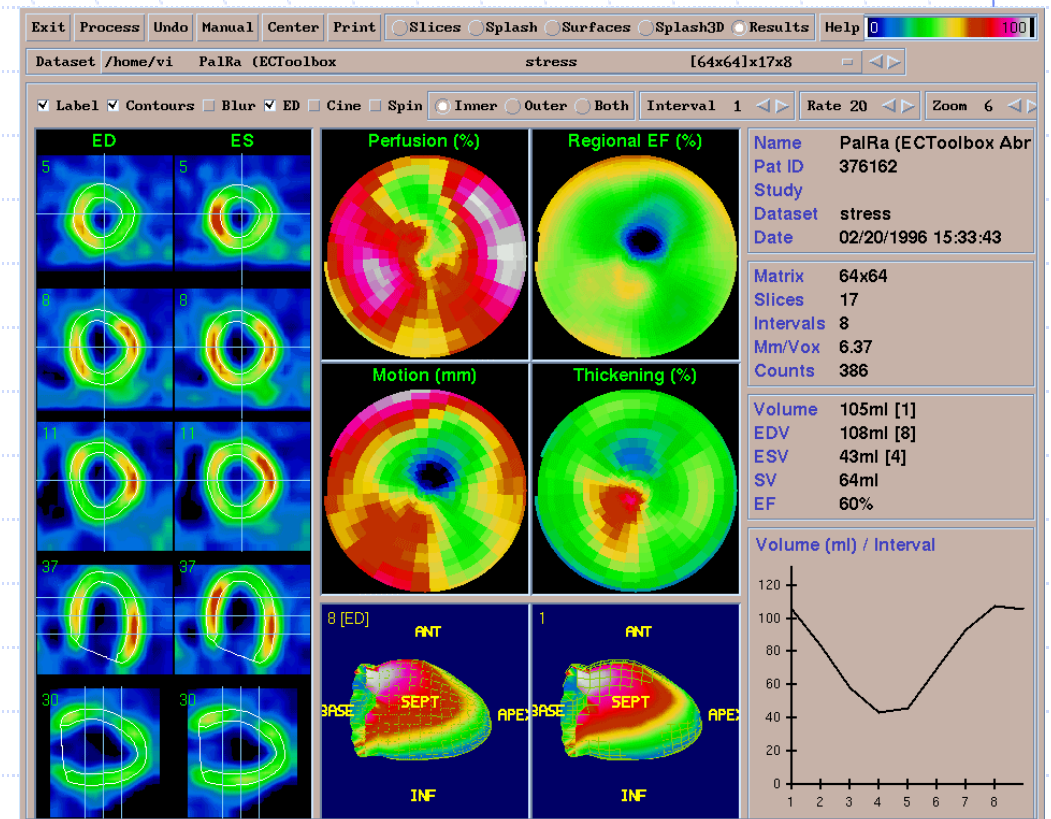
Imprécis

Hypoperfusion > 50%

Activité digestive

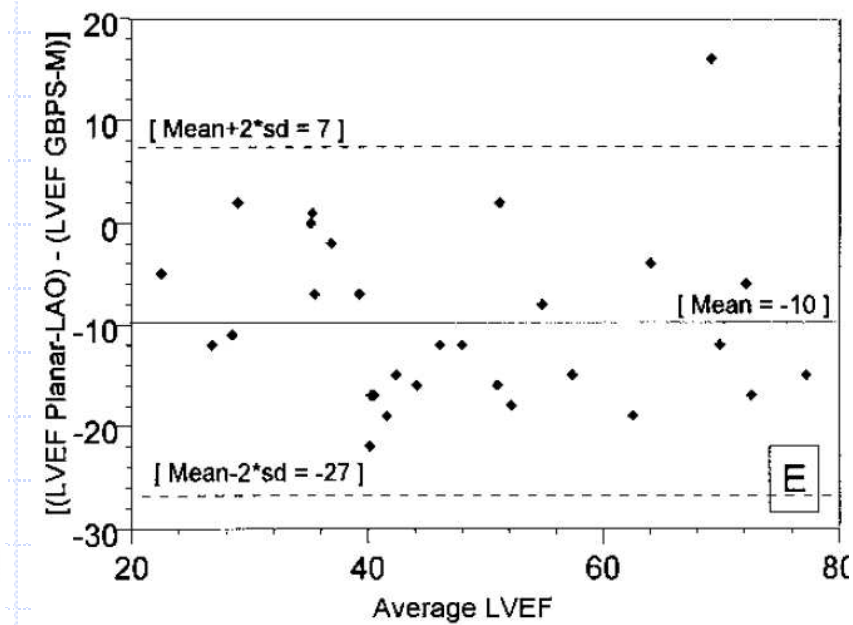
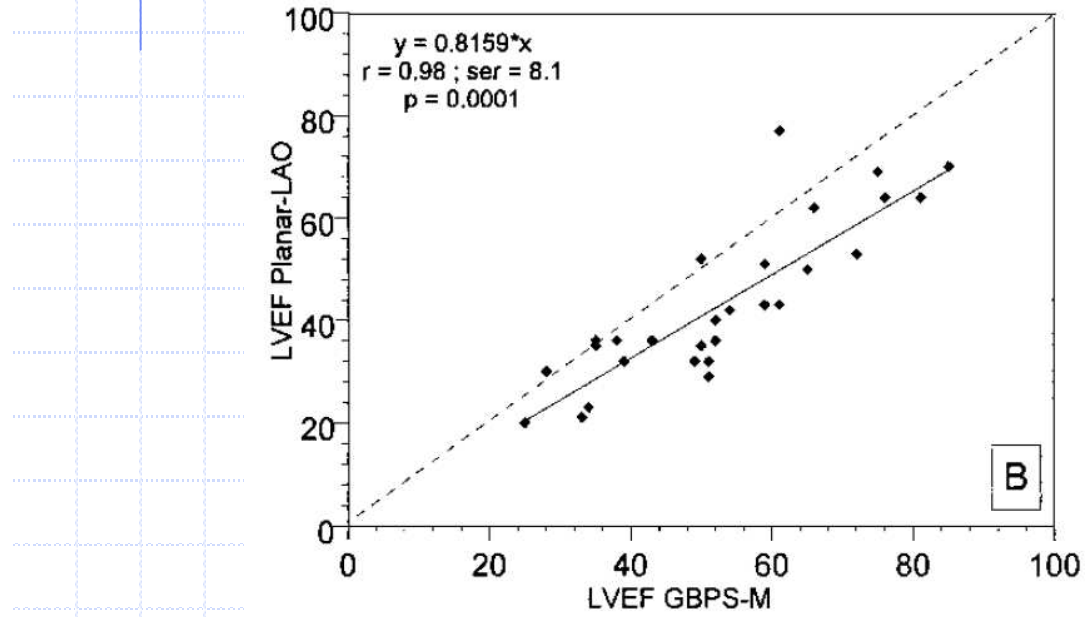
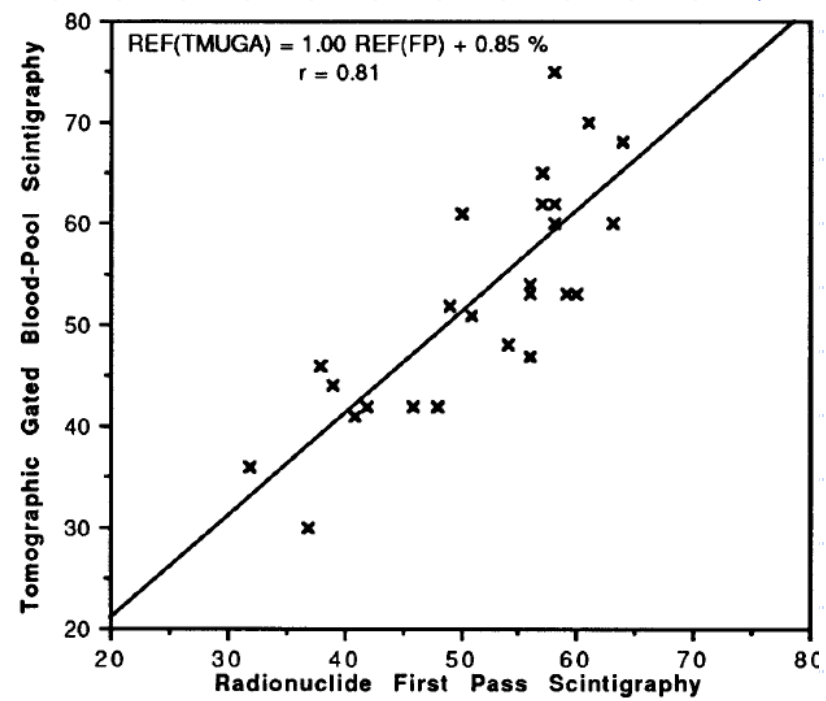
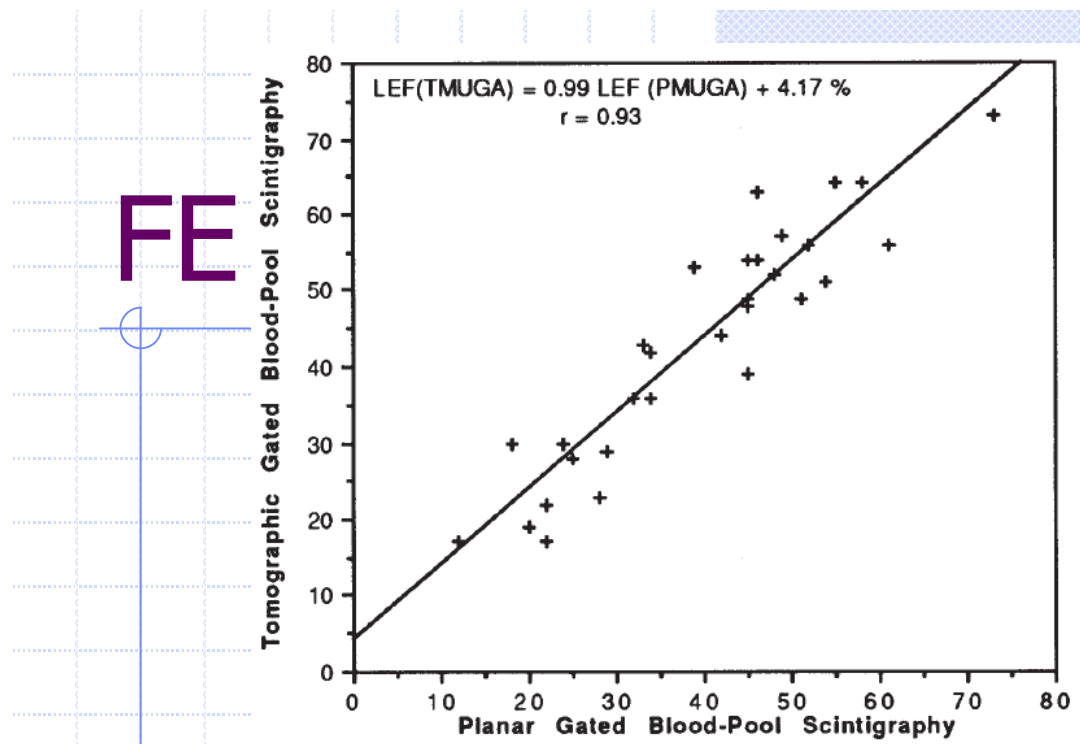
FE \uparrow (Petits coeurs)

Volumes \downarrow



De Winter,JNC 05; Chan,J. Am. Soc. Echo. 06; Achtert,JNC 98; Ford, JNM 01

VALIDATION CLINIQUE



FF-BNP

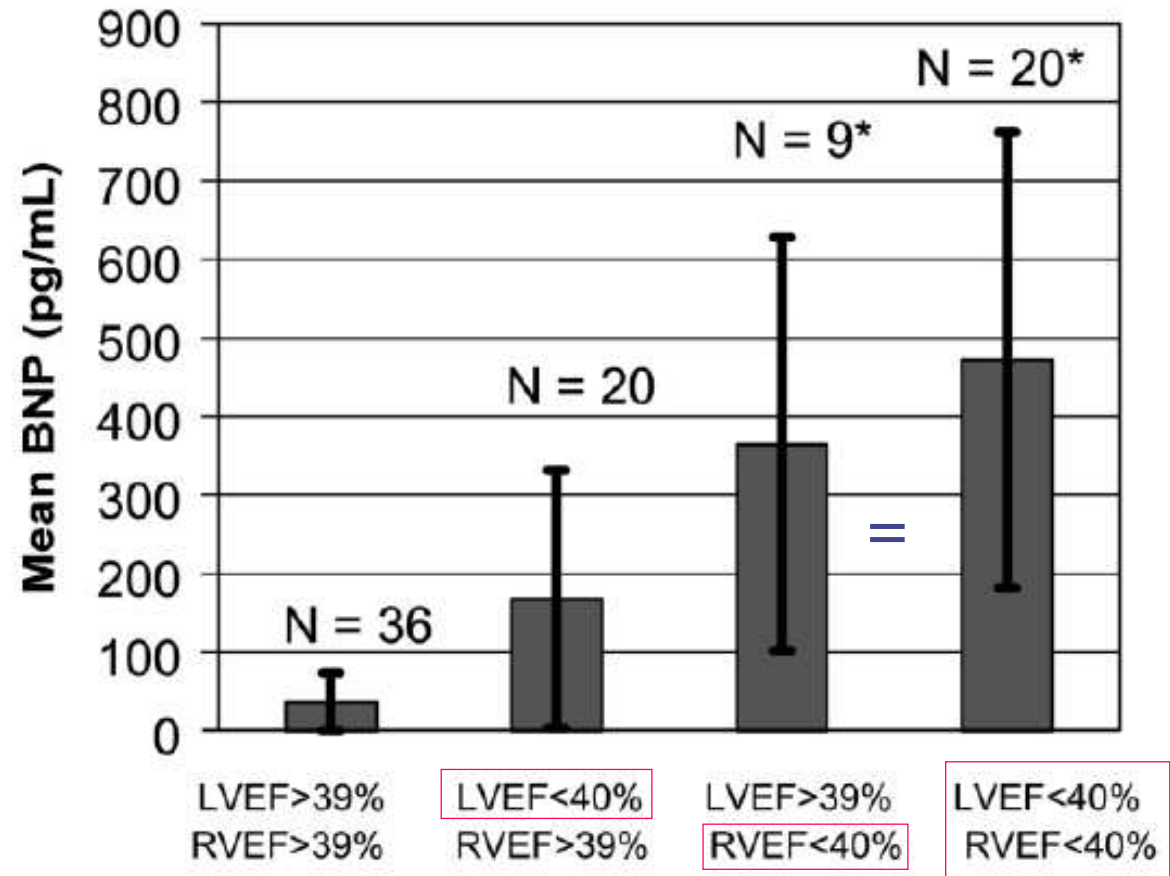
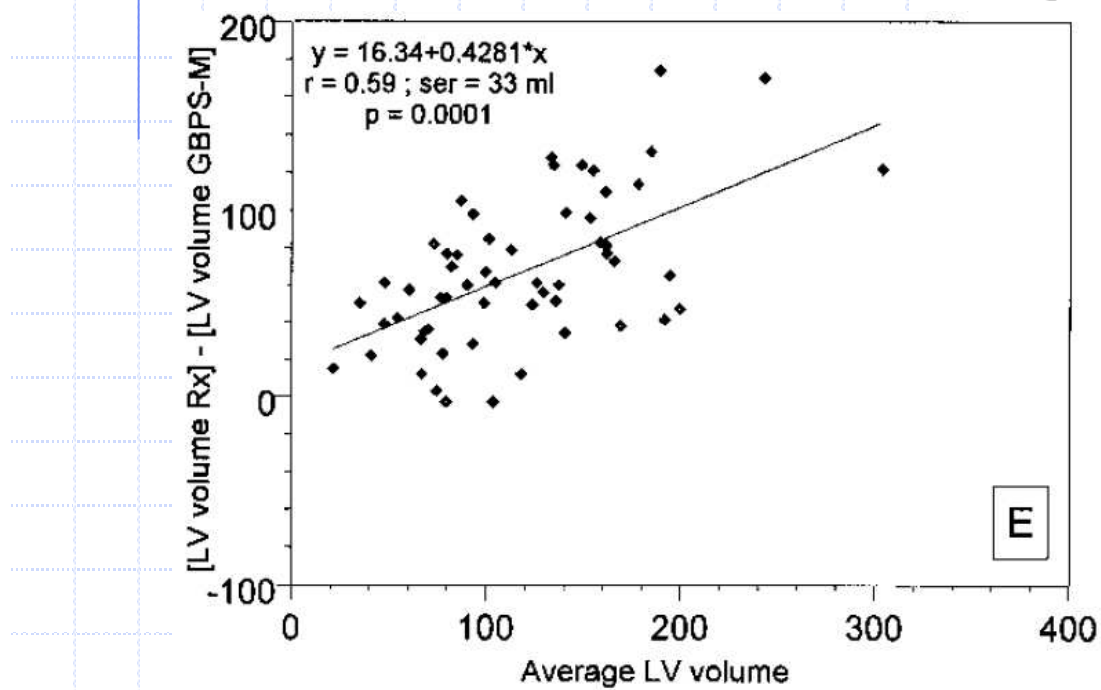
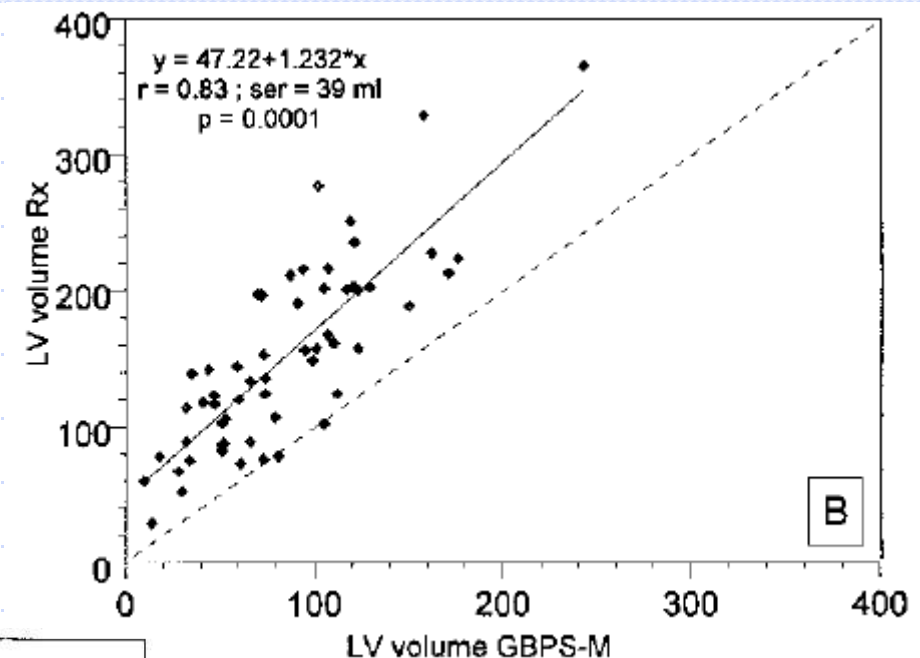
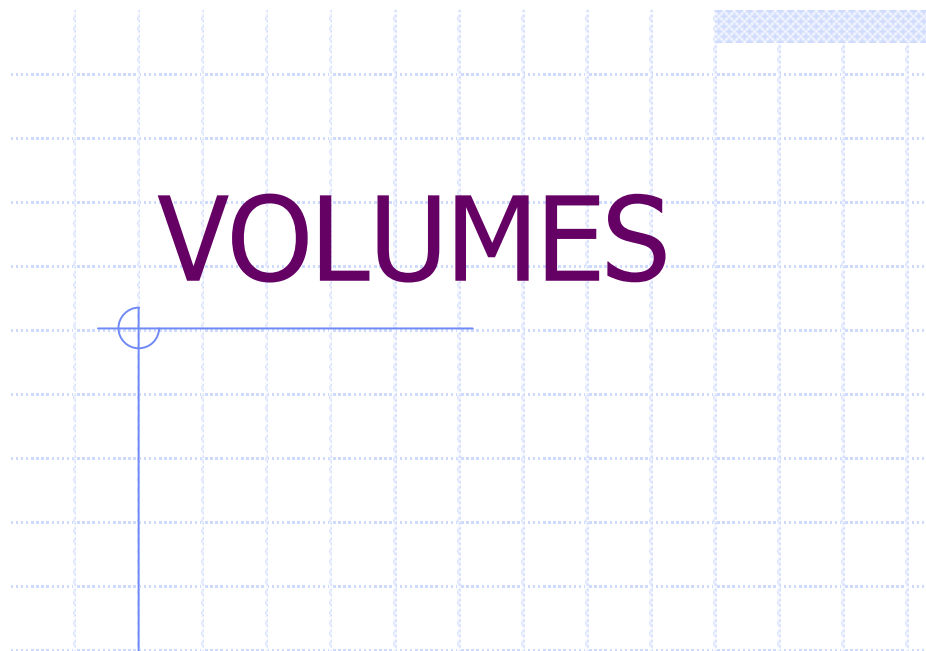
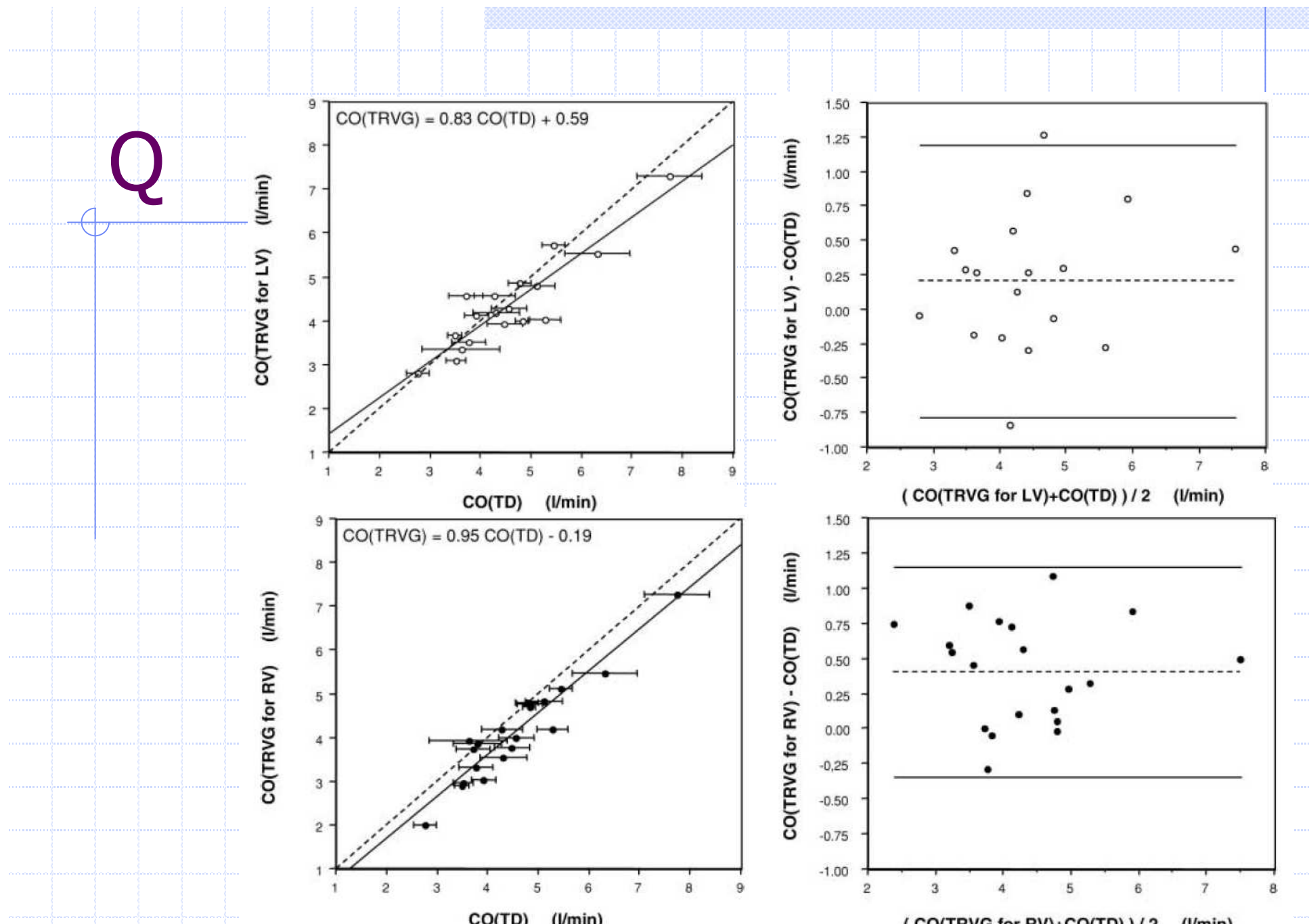


Fig. 1. Mean plasma BNP level vs. left (LVEF) and right (RVEF) ejection fraction. N is the number of patients and error bars represent \pm S.D. Mean BNP levels are significantly different ($P=0.0001$) except between the two groups marked by a star (*: $P=0.51$).

VOLUMES





IRM

VG

VD

FE

$\delta=0$

FE

$\delta=4\%$

GBPS (%)

GBPS (%)

CMR (mL)

CMR (mL)

• EDV $\delta(\text{IRM})=40 \text{ mL}$
○ ESV $\delta(\text{IRM})=19 \text{ mL}$

• EDV $\delta(\text{IRM})=11 \text{ mL}$
○ ESV $\delta(\text{IRM})=0$

GBPS (mL)

GBPS (mL)

VES(G-D): 9 ± 14 (GBPS) versus 18 ± 13 (IRM)

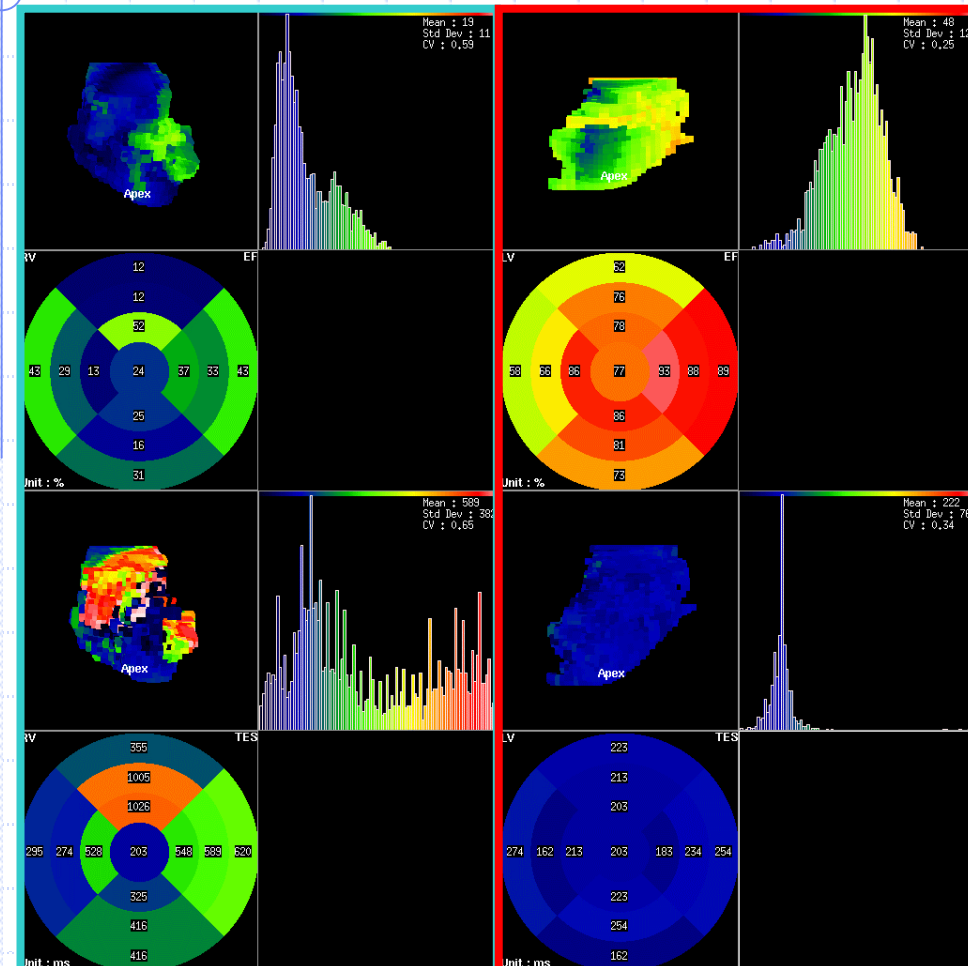
σ -TES

Parameter	Control subjects	Patients with localized ARVD	Patients with diffuse ARVD
EF (%)	63 ± 7	60 ± 5	33 ± 12†
EDV (mL)	101 ± 17	107 ± 20	180 ± 81‡
ESV (mL)	37 ± 8	43 ± 10	124 ± 70†
σ -EF (%)	13 ± 3	14 ± 2	11 ± 3
σ -TES (ms)	63 ± 24	167 ± 64†	277 ± 106†

Sensitivity, Specificity, Positive Predictive Value (PPV), and Negative Predictive Value (NPV) of Right Ventricular EF, Volumes, and σ -TES for Diagnosis of Diffuse ARVD in Patients with Symptomatic Ventricular Arrhythmias

Parameter	Threshold	% Sensitivity (95% CI)	% Specificity (95% CI)	% PPV (95% CI)	% NPV (95% CI)
EF	49%	95 (77–100)	100 (84–100)	100 (84–100)	95 (77–100)
EDV	104 mL	91 (71–99)	71 (52–91)	77 (61–93)	88 (64–98)
ESV	53 mL	95 (77–100)	100 (84–100)	100 (84–100)	95 (77–100)
σ -TES	123 ms	91 (71–99)	100 (84–100)	100 (83–100)	91 (72–99)

DYSPLASIE ARYTHMOGENE VD



FE

σ -TES

VD

VG

D. Mariano-Goulart et al. JNM 2007;48

DVDA locales:

$\sigma_{TES} > 80$ ms

Se = 100%
VPN = 100%

Sp = 81 %
VPP = 80%

Perspectives de recherche

- ◆ Evaluation pronostique des IC
 - ◆ FEVD, Volumes, dyskinésies
- ◆ Rythmologie
 - ◆ Diagnostic
 - ◆ Indications de PMK multisites, def. implantables
- ◆ Débits ventriculaires D et G
 - ◆ CIV, valvulopathies...
- ◆ Lien MIBG – σ TES ?

Références en anglais

Semi-automatic segmentation of gated blood-pool emission tomographic images by watersheds. Application to the determination of right and left ejection fractions. D Mariano-Goulart, H Collet, PO Kotzki, M Zanca, M Rossi.

Eur J Nucl Med 1998; 25(9): 1300-07.

Routine measurements of left and right ventricular output by gated blood-pool emission tomography in comparison with thermodilution measurements : a preliminary study. D Mariano-Goulart, C Piot, V Boudousq, F Raczka, F Comte, MC Eberlé, M Zanca, PO Kotzki, JM Davy, M Rossi.

Eur J of Nucl Med. 2001; 28(4): 506-513.

Electrocardiographically gated blood-pool spect and left ventricular function: comparative value of 3 methods for ejection fraction and volume estimation. D Daou, F Harel, BO Helal, T Fourme, P Colin, R Lebtahi, D Mariano-Goulart, M Faraggi, M Slama, D Le Guludec.

J Nucl Med 2001; 42(7): 1043-9.

Major increase of brain natriuretic peptide indicates right ventricular systolic dysfunction in patients with heart failure. D Mariano-Goulart, MC Eberlé, V Boudousq, A Hejazi-Moughari, C Piot, C Caderas de Kerleau, R Verdier, ML Barge, F Comte, N Bressot, M Rossi, PO Kotzki.

Eur J Heart Failure 2003; 5(4): 481-488.

Automatic generation of noise-free time-activity curve with gated blood-pool emission tomography using deformation of a reference curve. C Caderas de Kerleau, E Ahronowitz, M Rossi, D Mariano-Goulart.

IEEE Trans Med Imaging 2004 ; 23(4) : 485-91

Diagnosis of Diffuse and Localized Arrhythmogenic Right Ventricular Dysplasia using Gated Blood-Pool SPECT. D Mariano-Goulart, L Déchaux, F Rouzet, E Barbotte, C Caderas de Kerleau, M Rossi, D Le Guludec.

J Nucl Med 2007; 48(9):1416-1423

Références en français

Détermination des fractions d'éjection et des débits cardiaques par tomoventriculographie isotopique. Méthodologie et validation clinique. D Mariano-Goulart, V Boudousq, MC Eberlé, H Collet, F Comte, M Rossi.
Revue de l'Acomen 2000; 6(1) :69-77.

Corrélation entre les valeurs du BNP plasmatique et les mesures isotopiques de la fraction d'éjection ventriculaire gauche. M Rasamisoa, N Bressot, C Vergnes, D Mariano-Goulart, M Rossi.
Immunoanalyse & Biologie Spécialisée 2002; 17(5) :311-315

Extraction automatique des paramètres ventriculaires locaux en tomo-ventriculographie isotopique. D Mariano-Goulart, C Caderas de Kerleau, M Rossi.
Médecine nucléaire 2005; 29(3): 115-130.

Apport de la tomo-ventriculographie isotopique dans le diagnostic de la dysplasie arythmogène du ventricule droit . L. Déchaux, F. Rouzet, D. Le Guludec, M. Rossi, D. Mariano-Goulart.
Médecine nucléaire 2006 ; 30(5) :261-269.

Actes de congrès internationaux

Routine measurements of right and left ejection fractions thanks to the segmentation of gated blood pool emission tomographic images by a watershed algorithm. D Mariano-Goulart, H Collet, MC Eberle, V Boudousq, PO Kotzki, M Zanca, M Rossi.

Eur J of Nucl Med 1999; 26(9): 1078

Accuracy of two different softwares for left ventricular ejection fraction and volume estimation with ECG-gated blood pool imaging. D. Daou, F. Harel, D. Mariano-Goulart, R. Lebtahi, I. Carel, T. Fourme, P. Colin, B.O. Helal, M. Slama, M. Faraggi, D. Le Guludec.

Eur J of Nucl Med 2000 ; 27(8) :1048.

Calculation of left ventricular ejection fraction from planar and tomographic radionuclide ventriculography studies : a dynamic left ventricular study. P. De Bondt, S Vandenberghe, J De Sutter, S De Mey, T Cottens, C Van de Wiele, O De Winter, P Segers, D Mariano-Goulart, P Verdonck, RA Dierckx. Xth Triennial Symposium of the Belgian Society for Nuclear Medicine. Knokke: 2001:21.

Comparative value of two different processing softwares for left ventricular ejection fraction and volume estimation with ECG gated blood pool imaging. D. Daou, F. Harel, D. Mariano-Goulart, B. Helal, M. Slama, M. Faraggi, D. Le Guludec.
5th International Conference of Nuclear cardiology. May 2-5,2001.Vienne. Autriche.

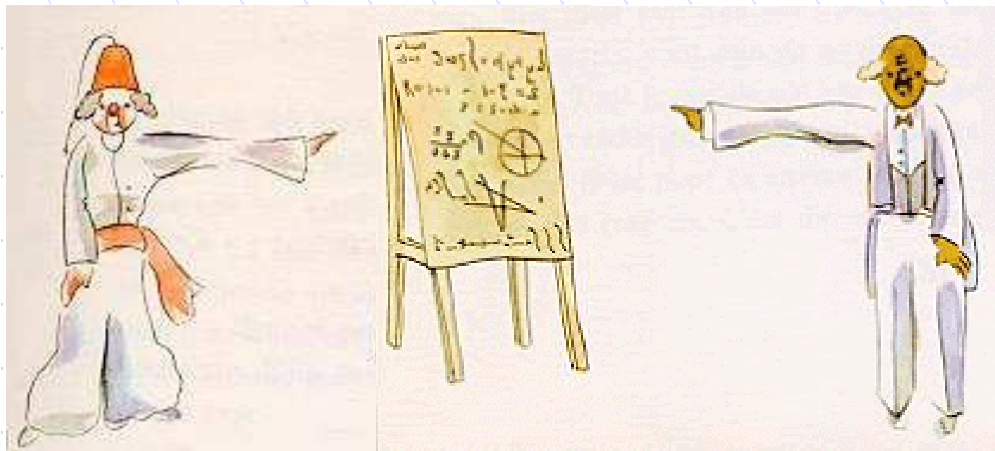
ECG-gated blood pool SPECT versus planar imaging for the determination of left ventricular filling pressure coronary artery disease. D Daou, BO Helal, Carol , C Coaguila, D Vilain, T Fourme, S Dinanian , M Slama. *J Nucl Cardiol.* 2001;S109:16.50

A template-based model dedicated to the analysis of Time Activity Curves in Gated Blood-Pool Ventriculography. Denis Mariano-Goulart, Charles Caderas de Kerleau and Michel Rossi. (communication orale).

Eur J of Nucl Med 2005;32(1):S42.

Evaluation of tomographic gated blood-pool ventriculography in the diagnosis of arrhythmogenic right ventricular dysplasia. D. Mariano-Goulart, L. Déchaux, E. Barbotte, D. Le Guludec, Michel Rossi.

Eur J of Nucl Med 2006;33(2):P091.



Merci de votre attention...